

Supersymmetrie (SUSY)

Im Falle der SU(5)-GUT hat sich gezeigt, dass eine Vereinigung der Kopplungen nur erreicht werden kann, wenn eine weitere, intermediaire Schwelle bei ca. 1TeV auftritt. Diese Schwelle war verbunden mit dem Auftreten neuer Teilchen, so genannter supersymmetrischer Teilchen. Diese Teilchen folgen aus einer neuen, umfassenden Symmetrie, die die kraftvermittelnden Bosonen mit den Materiebausteinen Fermionen verknüpft. Auf diese Weise entsteht eine Relation zwischen Teilchen mit unterschiedlichen Spins, die es in GUT-Theorien nicht gibt. In der Supersymmetrie (SUSY) können Bosonen in Fermionen und umgekehrt transformiert werden:

$$Q |F\rangle = |B\rangle \quad Q |B\rangle = |F\rangle$$

Die Generatoren Q induzieren Spin- $\frac{1}{2}$ -Übergänge und sind mit einer erhaltenen Ladung, so gen. Spinorladung, verknüpft (NB: Noether-Theorem: Symmetrie \Leftrightarrow Erhaltungsgröße)

⊗ Y.A. Gelfand, E.P. Likhman (1971), D.V. Volkov, V.P. Akulov (1972), J. Wess, B. Zumino (1974)

Vereinigung der Kopplungen in SUSY-GUT

Unification of the Coupling Constants in the SM and the minimal MSSM

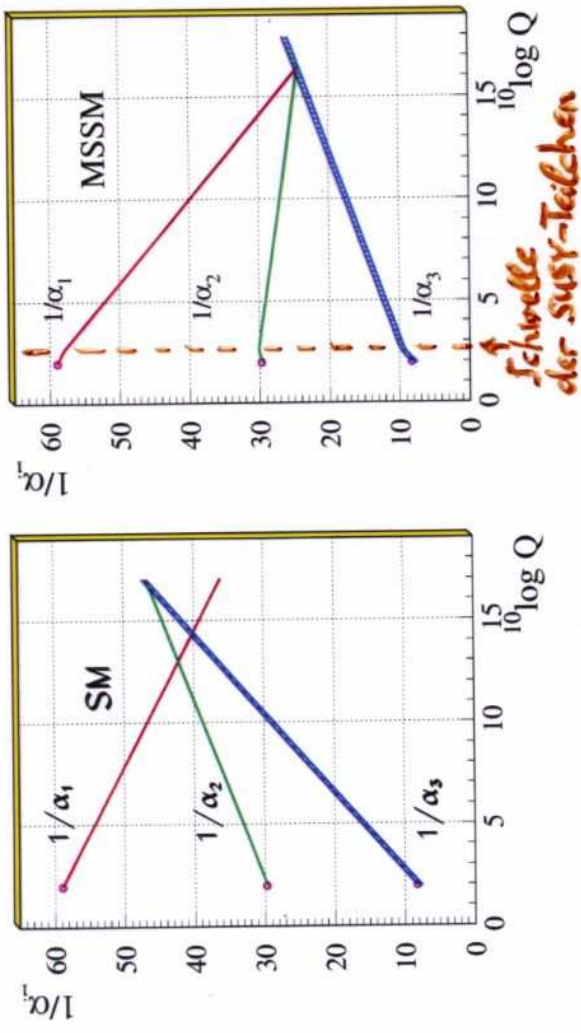


Figure 5: Evolution of the inverse of the three coupling constants in the Standard Model (left) and in the supersymmetric extension of the SM (MSSM) (right). Only in the latter case unification is obtained. The SUSY particles are assumed to contribute only above the effective SUSY scale M_{SUSY} of about 1 TeV, which causes a change in the slope in the evolution of couplings. The thickness of the lines represents the error in the coupling constants [15].

Supersymmetrie

Tatsächlich kann durch SUSY eine intne Symmetrie mit Lorentzinvianz kombiniert werden:

$$\{Q_\alpha, \bar{Q}_\beta\} = -2g_{\alpha\beta}^\mu P_\mu$$

mit Energie-Impuls-Viervektor P_μ . Wird die Invarianz unter Raumzeit-Transformationen betrachtet und die SUSY-Transformationen lokal gemacht, dann kommt auch Gravitation mit ins Spiel, als Supagravitation. Eine solche Verbindung deutet sich vielleicht schon dadurch an, dass die Vereinigungsskala der SUSY-GUT mit ca. 10^{16} GeV in der "Nähe" der Planck-Skala

$$\Lambda_{\text{Planck}} = \sqrt{\frac{hc}{G_N}} \approx 1.2 \cdot 10^{19} \text{ GeV}$$

liegt, bei der Gravitationswechselwirkung nicht mehr gegenüber elektroschwacher und starker Wechselwirkung vernachlässigt werden kann.

Supersymmetrie

Die theoretischen Details und Implikationen darzustellen und zu diskutieren, würde den Rahmen dieser Vorlesung sprengen. An dieser Stelle sollen nur einige wenige Aspekte angesprochen werden, der Schwerpunkt aber auf die phänomenologischen Konsequenzen gelegt werden. Um die Supersymmetrie zwischen Bosonen und Fermionen zu realisieren, müssen beide in der gleichen Lagrangedichte zusammen mit supersymmetrischen Transformationen erscheinen (τ^{μ} : Pauli-Matrizen, $\tau^0 = \mathbb{1}$):

$$\mathcal{L} = \underbrace{\partial_{\mu}\phi^* \partial^{\mu}\phi}_{\text{kinet. Energie freies Fermion}} + \underbrace{i\gamma^{\mu} \bar{\psi} \partial_{\mu} \psi}_{\text{kinet. Energie freies Boson}} + \underbrace{F^* F}_{\text{Wechselwirkungsterme}} + \left(F \frac{\partial W}{\partial \phi} - \frac{1}{2} \gamma^{\mu} \gamma^{\nu} \frac{\partial W}{\partial \phi^{\mu\nu}} + \text{bem. konj.} \right)$$

Fermion ϕ und Boson ψ sind dabei durch

$$S_{\xi} \phi = \sqrt{2} \xi^{\mu} C \gamma^{\mu} \phi$$

$$S_{\xi} \psi = \sqrt{2} i \tau^{\mu} \partial_{\mu} \psi C \xi^{\mu} + \xi^{\mu} F$$

verknüpft, wobei ξ ein infinitesimaler Spinorparameter (Grassmann-Variable) und C die Ladungskonjugation ($= i \sigma^2$) sind. F ist ein Hilfsfeld (auxiliary field), das durch die Bewegungsgleichung $F^+ = -\frac{\partial W}{\partial \phi}$ bestimmt ist.

Super-Symmetrie

Materie-Wechselwirkungen werden durch das Superpotential $W(\phi)$ bestimmt. In einer minimalen supersymmetrischen Erweiterung des Standard-Modells hat $W(\phi)$ die Form

$$W = \lambda_d Q D^c H + \lambda_e L E^c H + \lambda_u Q U^c \bar{H} + \mu \bar{H} H$$

wobei die Materiefelder Q, L, D^c, U^c, E^c den bekannten Teilchen zugeordnet sind:

$$Q = \begin{pmatrix} u \\ d \end{pmatrix}_L$$

$$L = \begin{pmatrix} e^- \\ \bar{e} \end{pmatrix}_L$$

$$D^c \equiv d_L^c = (d_R)^c$$

$$E^c = e_L^c = (e_R)^c$$

$$U^c \equiv u_L^c = (u_R)^c$$

(NB: $e^c := (\bar{e}^T, \text{u.s.w.})$
vgl. Majorana-Neutrinos)

Die Superpotentialkoppplungen $\lambda_d, \lambda_e, \lambda_u$ entsprechen den Yukawa-Koppplungen im Standard-Modell, sodass mit den Vakuumerwartungswerten v_d, v_u der Higgs-Dubletts H, \bar{H} die Teilchenmassen folgen:

$$m_d = \lambda_d v_d, \quad m_u = \lambda_u v_u, \quad m_e = \lambda_e v_d$$

und als 3×3 -Matrizen aufzufassen sind, die wie im Standard-Modell diagonalisiert werden müssen

Supersymmetrie

Während im Standard-Modell ein Higgs-Dublett genügte, um allen Kettenteilchen Masse zu geben, benötigt das minimal supersymmetrisch erweiterte Standard-Modell (MSSM) zwei Higgs-Dubletts mit unterschiedlicher Hyperladung Y . (Grund dafür ist, dass ein Dublett nicht genügt, um Dreiecks-Anomalien durch Auslöschung der Amplituden zu vermeiden.) Diese beiden Higgs-Dubletts koppeln durch den Term $\mu \bar{H} H$ im Superpotential W . Auch besitzen beide Dubletts eigene Vakuumerwartungswerte v_u, v_d für \bar{H} und H , deren Verhältnis $\tan \beta := \frac{v_u}{v_d}$ zwar unbestimmt ist, die aber: $v^2 = v_u^2 + v_d^2 = \sqrt{\sum Q_i^2} \approx (246 \text{ GeV})^2$ erfüllen.

Ein weiterer wichtiger Aspekt des MSSM ist die Fixierung der (quartischen) Higgs-Selbstkopplung ($h \rightarrow h - h$), wodurch die Masse des leichtesten Higgs-Boson m_h in der SUSY stark eingeschränkt wird: $m_h < 130 \text{ GeV}$

(NB: diese Einschränkung berücksichtigt Schleifenkorrekturen)
Damit liegt m_h im bevorzugten Bereich der Präzisionsmessungen der LEP-Experimente!

SUSY-Phänomenologie

Drei Supermultipletts sind die elementaren Bausteine der SUSY:

$$\text{chirale Teilchen: } \begin{pmatrix} \frac{1}{2} \\ 0 \end{pmatrix}, \quad \text{Eich-Teilchen: } \begin{pmatrix} 1 \\ \frac{1}{2} \end{pmatrix}, \quad \text{Gravitation: } \begin{pmatrix} 2 \\ \frac{3}{2} \end{pmatrix}$$

↓
Helizität

In jedem Supermultiplett finden sich sowohl die bekannten Teilchen des Standard-Modells (z.B. alle Quarks & Leptonen im oberen Helizitätszustand ^(der Supermultipletts) der chiralen Teilchen; Eichbosonen wie γ, W^\pm, Z im oberen Helizitätszustand des Eich-Teilchen-Supermultipletts) und zusätzlich supersymmetrische Partikelteilchen (in den jeweiligen unteren Helizitätszuständen der Supermultipletts). In einer ungebrochenen SUSY besitzen die SUSY-Partikelteilchen exakt die gleichen Quantenzahlen (elekt. Ladung, schwache Ladung, starke Ladung, Masse...) ^(wie Standard-Modell-Teilchen) bis auf den Spin, der sich um $\frac{1}{2}\pi$ von den Standard-Modell-Teilchen unterscheidet.

Die SUSY-Partikelteilchen werden üblicherweise durch eine Tilde ($\tilde{\cdot}$) von den Standard-Modell-Teilchen unterschieden. Zudem werden aus Fermionen in SUSY skalare Fermionen (sfermions) und aus Bosonen in SUSY halbzähliges Spins tragende Bosinos.

SUSY-Phänomenologie

- Teilchen im minimal supersymmetr. Standard Modell MSSM

| Spin 0 | Spin $\frac{1}{2}$ | Spin 1 |
|--|--|----------|
| $\tilde{l}, \tilde{\nu}$ (skalare Leptonen = sleptons) | l, ν | |
| \tilde{q} (skalare Quarks = squarks) | q | |
| h, H, A | \tilde{g} (gluino) | g |
| H^\pm | $\begin{cases} \tilde{\chi}_1^0 \\ \tilde{\chi}_2^0 \\ \tilde{h}, \tilde{H} \end{cases}$ } mischen zu 4 Neutralinos | γ |
| | $\tilde{\chi}_i^0, i=1, \dots, 4$ | Z |
| | $\begin{cases} \tilde{W}^\pm \\ \tilde{H}^\pm \end{cases}$ } mischen zu 2 Charginos | W^\pm |
| | $\tilde{\chi}_j^\pm, j=1, 2$ | |

- Zwei Higgs-Dubletts : $8 - 3 = 5$ Higgs-Teilchen
 h, H, A, H^+, H^-

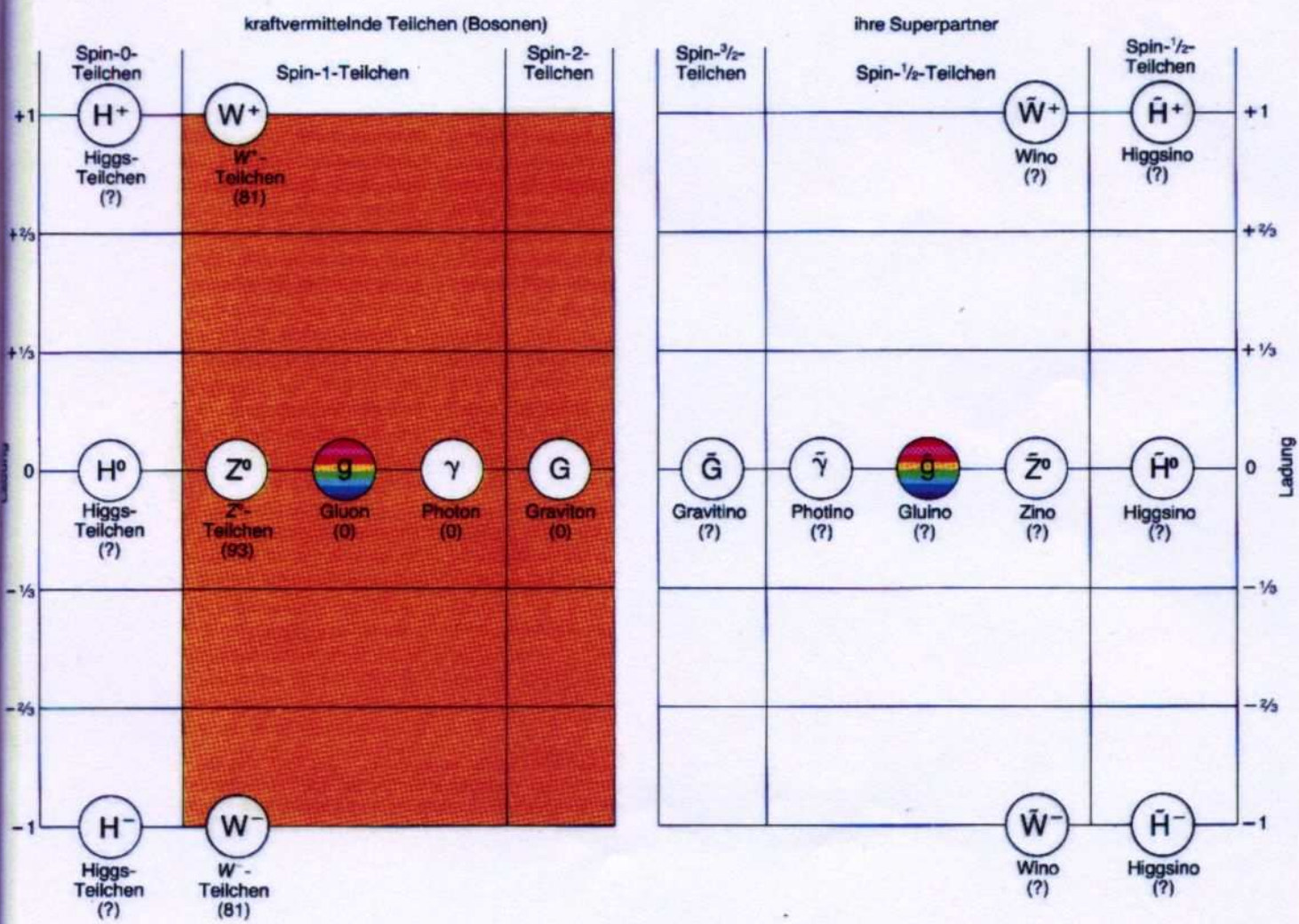
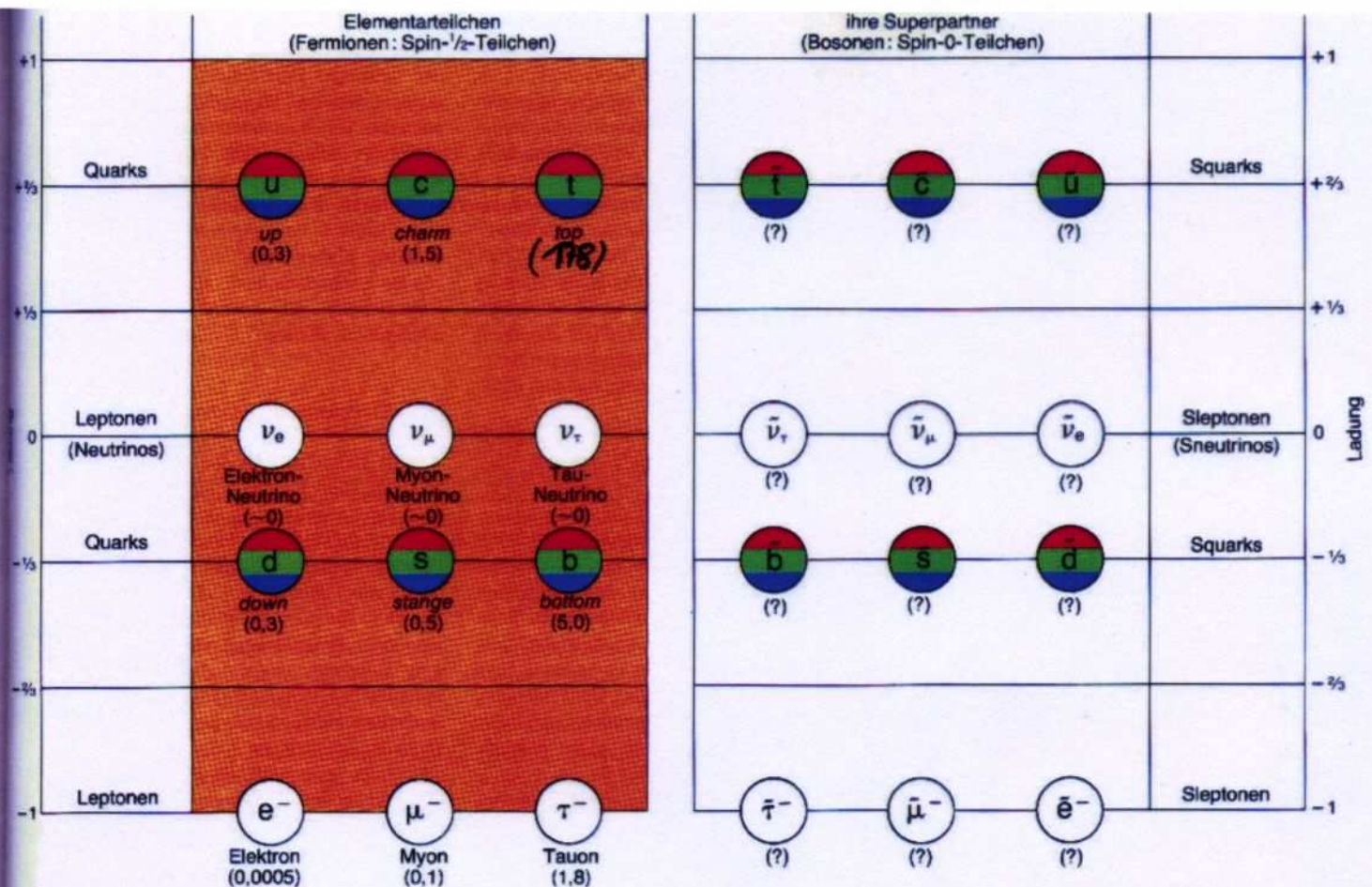
- Erhaltene Quantenzahl der SUSY (Noether-Theorem)

R-Parität : $R := (-1)^{\frac{3B+L+2S}{2}}$

$\uparrow \quad \uparrow \quad \uparrow$
 Baryon-, Leptonzahl, Spin

⇒ leichtestes SUSY-Teilchen (LSP) ist stabil!

Standard-Modell-Teilchen haben geradzahlige R-Parität oder $R = +1$
SUSY-Partikelteilchen haben ungeradzahlige R-Parität oder $R = -1$



| | | | |
|--|--|-------------|--|
| Quarks | B $\frac{1}{3}$ L 0 S $\frac{1}{2}$ R 1 | Squarks | B $\frac{1}{3}$ L 0 S 0 R 1 |
| Leptonen | B 0 L 1 S $\frac{1}{2}$ R 2 | Sleptonen | B 0 L 1 S 0 R 1 |
| Photon | B 0 L 0 S 1 R 2 | Photino | B 0 L 0 S $\frac{1}{2}$ R 1 |
| Gluon | B 0 L 0 S 1 R 2 | Gluino | B 0 L 0 S $\frac{1}{2}$ R 1 |
| W^+ - W^- und Z° -Teilchen | B 0 L 0 S 1 R 2 | Winos, Zino | B 0 L 0 S $\frac{1}{2}$ R 1 |
| Graviton | B 0 L 0 S 2 R 4 | Gravitino | B 0 L 0 S $\frac{3}{2}$ R 3 |
| Higgs- Teilchen | B 0 L 0 S 0 R 0 | Higgsino | B 0 L 0 S $\frac{1}{2}$ R 1 |

Zwischenresumé Supersymmetrie

Vorteile:

- Beinhaltet das präzise getestete Standard-Modell der el. schwachen & starken Ww.
- Löst das Hierarchie-Problem, da $\Lambda_{\text{SUSY}} \simeq 1 \text{ TeV}$ und da

$$H - \cdots \begin{array}{c} f \\ \text{---} \\ \tilde{f} \end{array} \cdots H + \overline{H} - \cdots \begin{array}{c} \tilde{f} \\ \text{---} \\ f \end{array} \cdots \overline{H}$$

sich gegenseitig aufheben (Bose- vs. Fermi-Statistik) und die Higgs-Masse stabilisiert wird:

$$m_H^2(M_W) = m_H^2 + c g^2 \Lambda^2 \rightarrow \begin{cases} \text{divergiert ohne} \\ \text{SUSY} \\ \text{endlich mit} \end{cases}$$

falls $|m_f^2 - m_{\tilde{f}}^2| \lesssim 1 \text{ TeV}$.

- Theorie kann berechnet werden
 - sagt viele neue Teilchen vorher
 - bringt GUT-Vereinheitlichung wieder ins Spiel
- ...

Zwischenresümé Supersymmetrie

Nachteile:

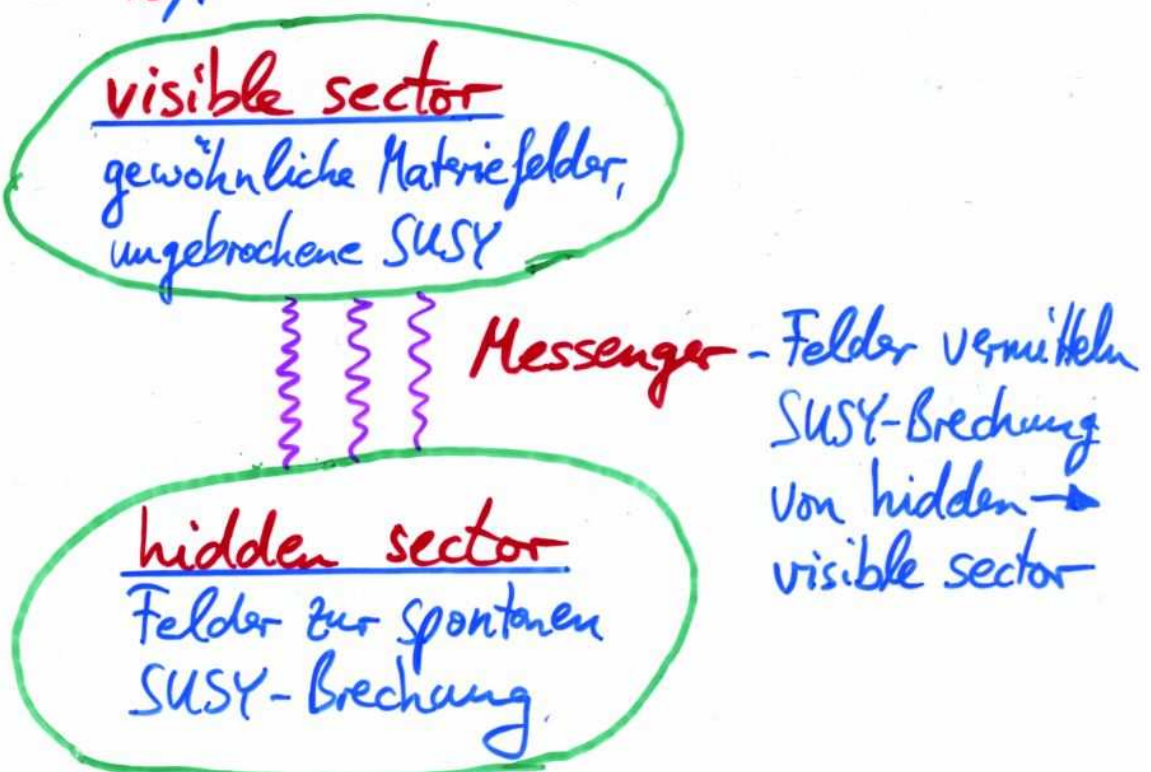
- Symmetrie ist offensichtlich gebrochen, da kein supersym. Partner des Elektrons, etc. beobachtet wurde (NB: ungebrochene SUSY: $m_f = m_{\tilde{f}}$), d.h. $m_f \neq m_{\tilde{f}}$
- bringt zusätzlich zu den 18 Parametern des Standard-Modells weitere 106 Parameter
- 21 Massen von SUSY-Teilchen, 41 Mischungswinkel zwischen Chiralitäts- und Massenzuständen, 43 CP-verletzende Phasen, 1 Vakuumerwartungswert für zweites Higgs-Dublett
- hat phänomenologische Defizite:
 - ▷ keine Erhaltung der separaten Leptonzahlen L_e, L_μ, L_τ
 - ▷ keine Unterdrückung von flavourändernden Wechselw. durch neutrale Eichbosonen, z.B. $\frac{e^+}{e^-}$
 - ▷ viele neue Quellen für CP-Verletzung, die inkonsistent mit den experimentellen Grenzen sind



Nahezu der gesamte 124 dimensionale Parameterraum des HSSM ist ausgeschlossen! HSSM kann nur in sehr speziellen Bereichen dieses Raums existieren.

SUSY-Brechung

Der Mechanismus der SUSY-Brechung ist noch völlig unklar, weil es im MSSM keine Felder gibt, die durch Entwicklung eines Vakuumerwartungswerts $\neq 0$ zu einer Spontanen Symmetriebrechung führen (unter Erhaltung der $SU(3) \otimes SU(2) \otimes U(1)$ -Invarianz). So werden die unbekannten Details der SUSY-Brechung in einen "hidden sector" verbannt, der durch "Messenger"-Felder die SUSY-Brechung in den "visible sector" vermittelt (mediate):



Der "hidden sector" ist eine Schwachstelle des MSSM: Viele Ambiguitäten \rightarrow unsichere MSSM-Vorhersagen

SUSY-Brechung

Die Phänomenologie der gebrochenen SUSY im MSSM hängt von den Messenger-Feldern ab. Unter den bisher untersuchten Szenarien sind Vermittlung durch:

- Gravitation: gravity mediated (SUGRA)
In SUGRA wird eine lokale SUSY spontan gebrochen. Das dabei entstehende ^{masselose} Goldstone-Fermion (Goldstino) wird über einen Super-Higgs-Mechanismus vom Gravitino (\tilde{G} , Spin $\frac{3}{2} \text{h}$) absorbiert, wodurch \tilde{G} sehr massiv wird: $m_{3/2} = \mathcal{O}(\text{TeV})$. Die Gravitinomasse bestimmt dann auch die Massenskala der SUSY-Teilchen (z.B. $\mathcal{O}(1\text{TeV})$).
- Eichwechselwirkung: gauge mediated (GMSB)
mit Eichbosonen und Materiefeldern des Standard-Modells als Messenger. Dabei wird das Gravitino sehr leicht ($m_{\tilde{G}} \in \mathcal{O}(\text{GeV})$) und wird somit zum leichtenste SUSY-Teilchen (LSP), in das alle übrigen SUSY-Teilchen letztlich zerfallen.

NB: In SUGRA ist das Neutralino :A. das LSP.

SUSY-Brechung

weitere Brechungs-Szenarien:

- konforme Anomalien: **anomaly mediated (AMSB)**
in einer multidimensionalen Theorie; führt aber zu sleptons mit negativen Massenquadrat (Tachyons)
- Eichbosinos: **gaugino mediated**
in mehr als $3+1$ Raumzeit-Dimensionen existiert eine weitere $3+1$ -dimensionale Welt, in der SUSY gebrochen ist, was durch Eichbosinos durch die zusätzlichen Raumdimensionen in unserer $3+1$ -dim. Welt transportiert wird.

:

Die Voraussagen für das Massenspektrum der SUSY-Teilchen hängt vom Brechungs-Szenario ab. Die nachfolgende Abbildung (Fig.22) zeigt Beispieldiagramme der vier genannten Szenarien, wobei die SUSY-Massen im Verhältnis zur Masse M_2 des Eichbosinos, das zur Kopplungskonstante $g_2 = g_W$ gehört, angegeben sind.

SPARTICLE SPECTRA

Häufigkeit der
zugehörigen
Teilchen

\tilde{Q} : Squark_L
 \tilde{L} : Lepton_L
 \tilde{E} : Selection_R
 \tilde{g} : Gluino
 \tilde{b}^0 : Bino
 $\tilde{\chi}^+$: Chargino

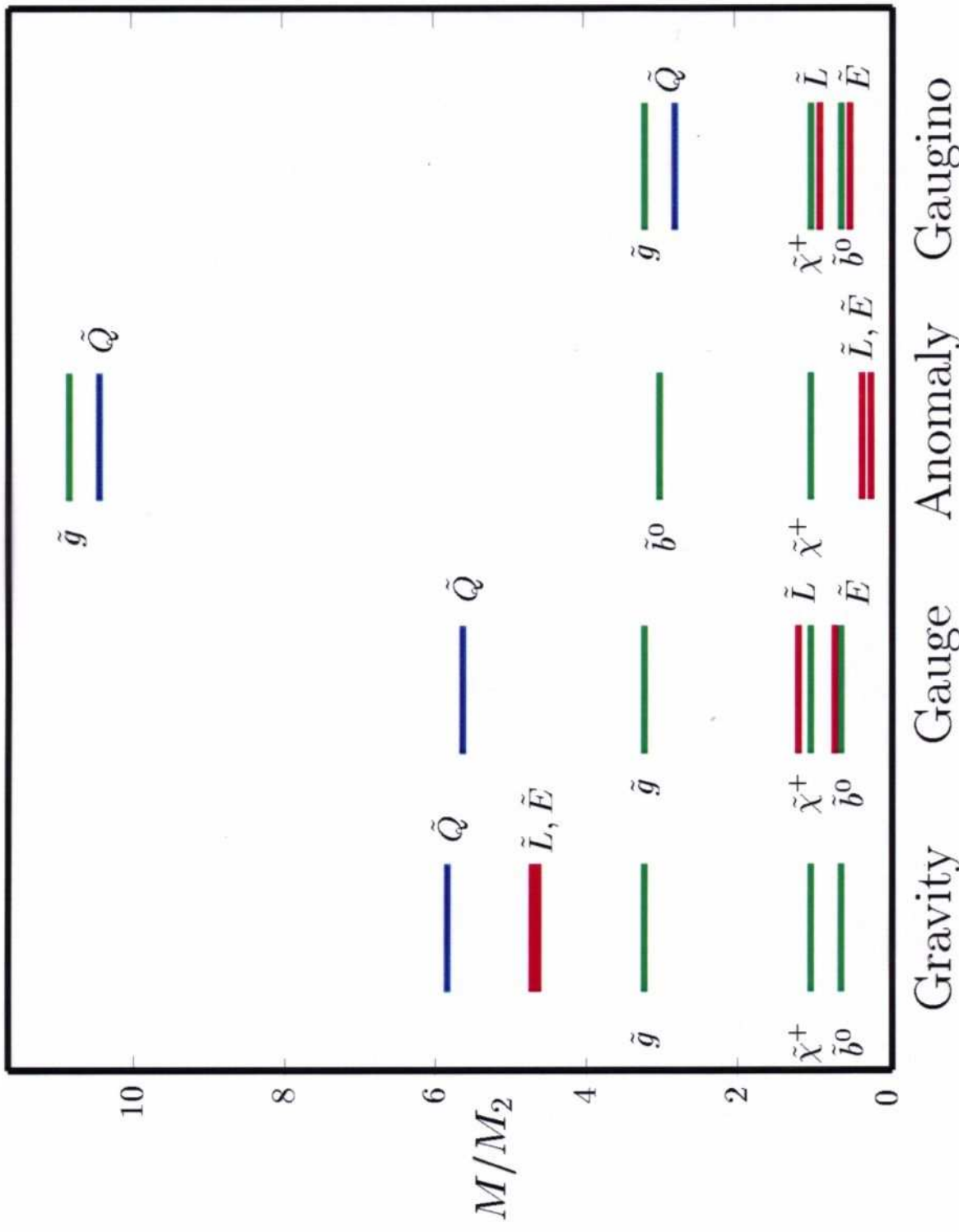


Fig. 22: Superparticle spectra for various mediation mechanisms

SUSY-Parameter

Mit den insgesamt 124 Parametern hat das MSSM zu viel Variabilität, um sinnvolle phänomenologische Studien machen zu können. Zur Reduzierung der Parameterzahl werden daher Annahmen gemacht:

- (i) Vereinigung aller Massen der Spin-0 SUSY-Teilchen an der Planck-Skala M_{Pl} ($= 1.2 \cdot 10^{19} \text{ GeV}$, meist wird $M_{\text{Pl}} \approx M_x$ der GUT-Skala gesetzt):

$$m_0^2 = M_Q^2 = M_{\tilde{u}}^2 = M_D^2 = M_L^2 = M_E^2 @ M_{\text{Pl}}$$

Squarks, u-Squark, d-Squark, Sleptons, Selections

- (ii) Vereinigung aller Eichbosino-Massen (Spin $\frac{1}{2} \bar{t}_i$) an der Planck-/GUT-Skala:

$$m_{1/2} = M_1 = M_2 = M_3 @ M_{\text{Pl}}, M_x$$

| | | |
|-------------------|--------------------|----------------------|
| $U(1)$ (Binos) | $SU(2)$ (Winos) | $SU(3)$ (Gluinos) |
|-------------------|--------------------|----------------------|

- (iii) Flavour-diagonale und universelle Higgs-Slepton-Slepton und Higgs-Squark-Squark Kopplungen:

$$A = A_u = A_d = A_L @ M_{\text{Pl}}, M_x$$

u-Squark d-Squark Slepton

Während (i)-(iii) für GMSB automatisch gelten, ist dies für SUGRA eine Einschränkung \rightarrow minimale SUGRA (mSUGRA).

SUSY-Parameter

Zusätzlich zu den drei verbleibenden Parametern aus den Annahmen (i)-(iii) bleiben noch zwei weitere Parameter μ_0 und $\tan\beta$, die mit dem erweiterten Higgs-Sektor im MSSM verbunden sind. Die relevanten Parameter sind also:

- $m_{1/2}$ Masse der Eichbosons an M_X
- m_0 Masse der Sfermionen an M_X
- A trilineare Higgs-Sfermion-Sfermion Kopplung
- μ_0 Mischungsparameter zwischen den beiden Higgs-Dubletts im MSSM (@GUT/Planck-Skala)
- $\tan\beta = \frac{v_u}{v_d}$ Verhältnis der Vakuumerwartungswerte der beiden Higgs-Dubletts

Diese Parameter der SUSY-Brechung zusammen mit den Kopplungen $\alpha_1, \alpha_2, \alpha_3 = \alpha_S$ des Standard-Modells sowie den Yukawa-Kopplungen $\lambda_u, \lambda_d, \lambda_e$ entsprechen einem beschränkten, minimal supersym. Standard-Modell (CMSSM), da insbesondere die Universalität der SUSY-Parameter an der GUT/Planck-Skala angenommen wird.

SUSY-Teilchenmassen

Aus den Werten der 5 SUSY-Brechungsparameter und der Yukawa-Kopplungen lassen sich die Massen der SUSY-Teilchen ausrechnen (dazu Betrachtung der Vakuum-Polarisation durch Lösung der Renormierungsgruppengleichungen). Die nachfolgende Abbildung (Fig. 23) zeigt die Massenspektren für zwei unterschiedliche Parametersätze, wobei auch eine Vereinigung der Yukawa-Kopplungen für b-Quark und T-Lepton bzw. b-, t-Quark und t-Lepton angenommen wurde (NB: $\gamma_f := \lambda_f^2 / 16\pi^2$ mit Yukawa-Kopplung λ_f für Fermiontyp f). Die Parameter m_1, m_2 entsprechen den Higgs-Massen der beiden Doublets, die im Higgs-Potential erscheinen. Ohne Schleifenkorrekturen ergeben sich daraus die Massen der physikal. beobachtbaren

5 Higgs-Bosonen: A : $m_A^2 = m_1^2 + m_2^2$

H^\pm : $m_{H^\pm}^2 = m_\chi^2 + M_W^2$

H, h : $m_{H,h}^2 = \frac{1}{2} [m_1^2 + m_2^2 \pm \sqrt{(m_1^2 + m_2^2)^2 - 4 m_1^2 m_2^2 \cos^2 \beta}]$

(NB: A ist CP-ungerade; H, h sind CP-garade; h ist das leichteste Higgs-Boson; H^\pm sind elektr. geladene Higgs-Bosonen)

Massenspektrum der SUSY-Teilchen

aus Lösung der Renormierungsgleichung unter Verwendung vereinfachter Yukawa-Kopplung
 $\tilde{\chi}_1 \sim \tilde{\chi}_2$

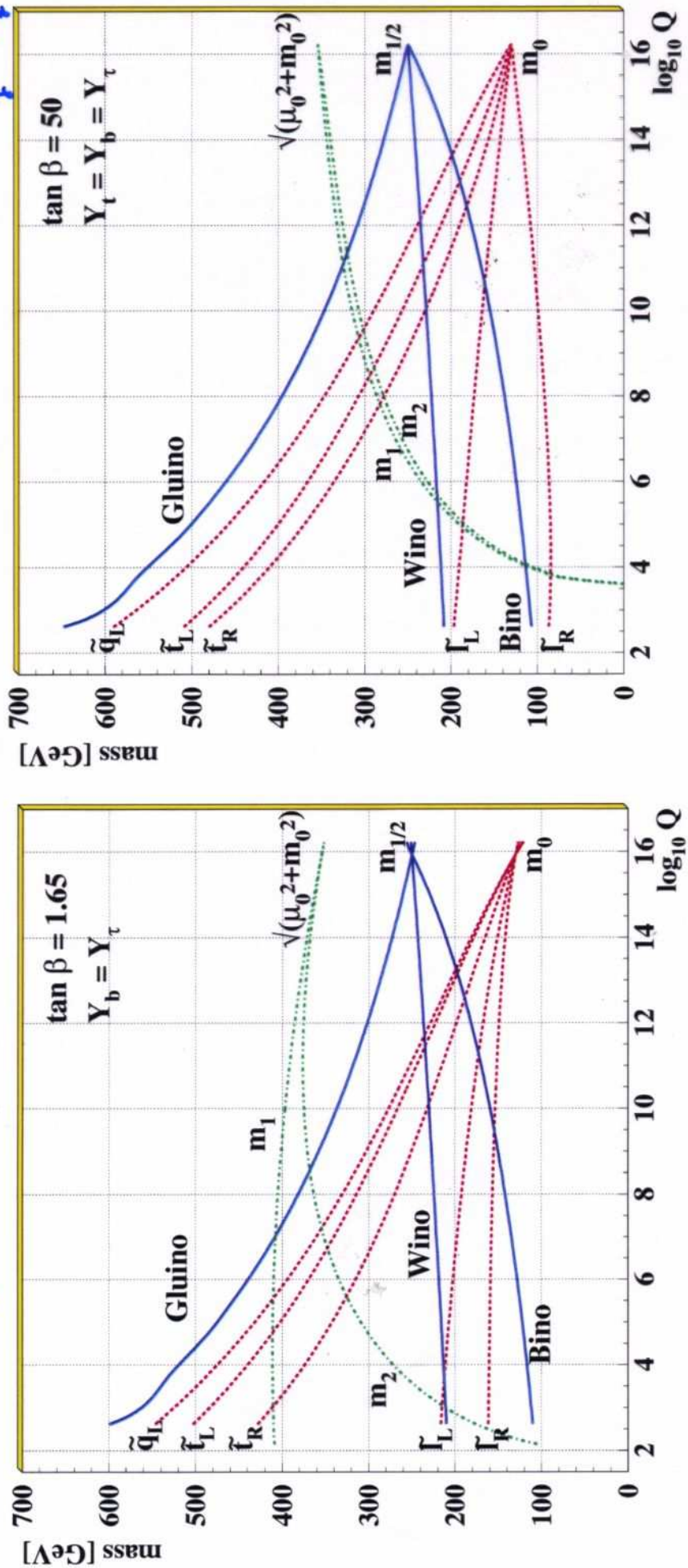


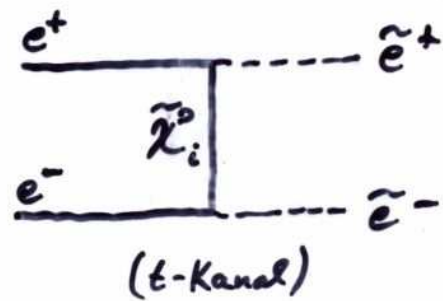
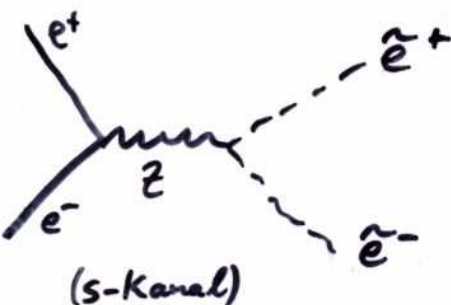
Figure 23: An example of evolution of sparticle masses and soft supersymmetry breaking parameters $m_1^2 = m_{H_1}^2 + \mu^2$ and $m_2^2 = m_{H_2}^2 + \mu^2$ for low (left) and high (right) values of $\tan \beta$

Experimentelle Signaturen

- SUSY-Produktion in e^+e^- -Annihilation:

$$\begin{aligned}
 e^+e^- &\rightarrow \tilde{\chi}_i^0 \tilde{\chi}_j^0 \quad i,j=1,\dots,4 \\
 &\rightarrow \tilde{\chi}_i^+ \tilde{\chi}_i^- \\
 &\rightarrow \tilde{l}^+ \tilde{l}^- \\
 &\rightarrow \tilde{q}^+ \tilde{q}^-
 \end{aligned}$$

z.B.



- Zerfall der SUSY-Teilchen:

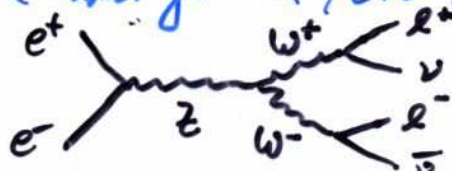
$$\Delta \tilde{l} \rightarrow \tilde{\chi}_1^0 l$$

$$\Delta \tilde{\chi}_1^\pm \rightarrow \tilde{\chi}_1^0 q\bar{q}, \tilde{\chi}_1^0 ll, \tilde{\nu}l$$

$$\Delta \tilde{\chi}_i^0 \rightarrow \tilde{\chi}_i^0 ff, \tilde{\chi}_i^0 \gamma \quad i=2,3,4$$

wobei das leichteste SUSY-Teilchen (LSP) (z.B. $\tilde{\chi}_1^0$) ähnlich wie Neutrinos ungesiehen dem Detektor entkommt \rightarrow fehlende Energie & Impuls

- Signatur und Untergrund von $\Delta M = m_{\text{SUSY}} - m_{\text{LSP}}$ abhängig
- Standard-Modell Untergrund, z.B. W-Paarproduktion



Slepton - Kandidat

SUSY: $e^+ e^- \rightarrow \tilde{\mu}^+ \tilde{\mu}^-$

$$\tilde{\mu}^+ \tilde{\mu}^- \rightarrow \mu^+ \chi_1^0$$

Standard-

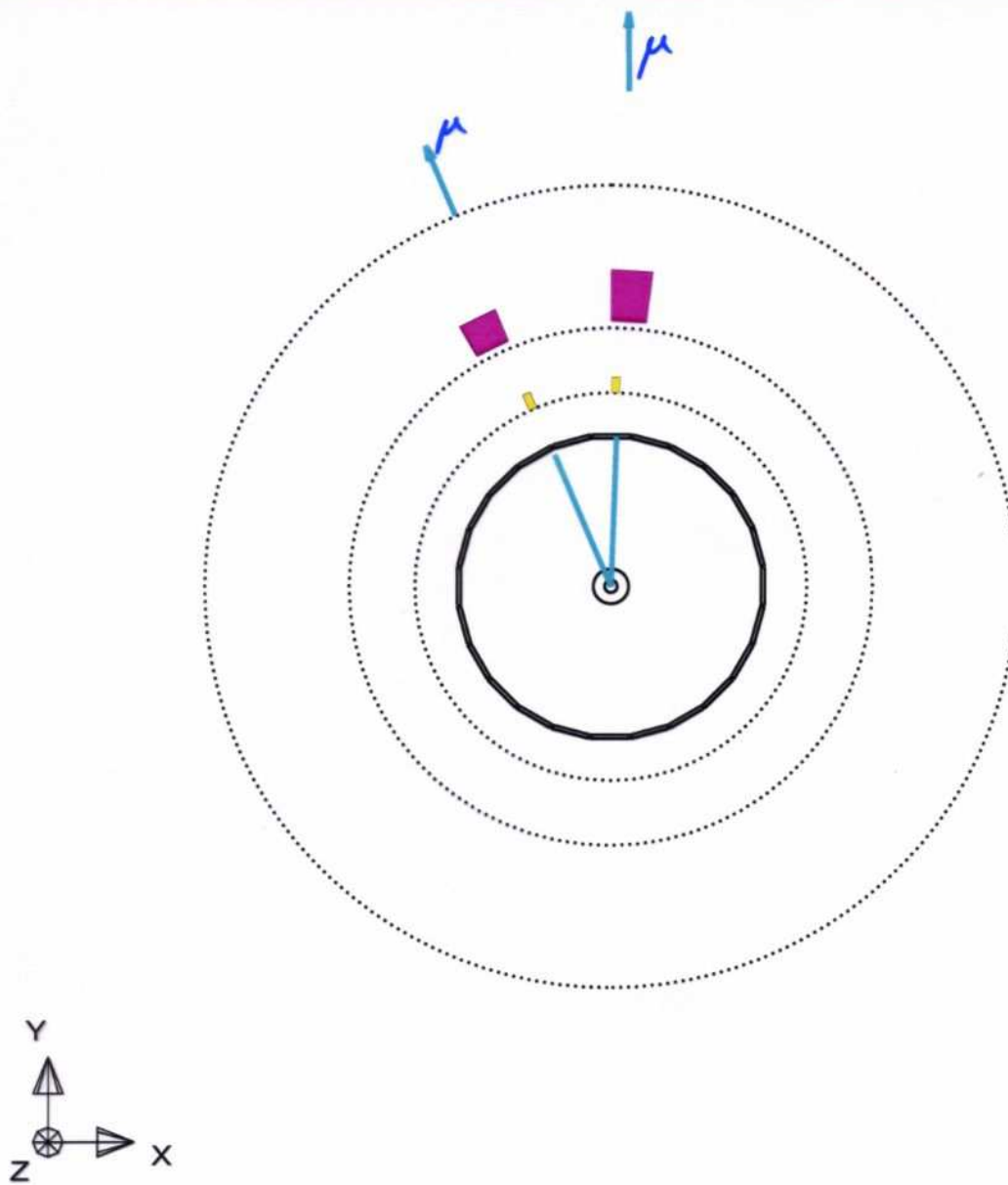
Modell:

$e^+ e^- \rightarrow W^+ W^-$

$$W^+ W^- \rightarrow \mu^+ \nu_\mu$$

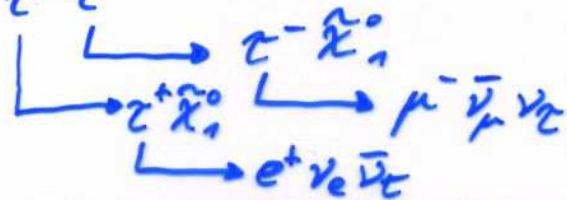
$$W^+ W^- \rightarrow \mu^- \bar{\nu}_\mu$$

Ran: event(11289) 74784 Ctrk(N= 2 SimE= 75.5) RecTrk(N= 9 SimE= 17.6)
Ebeam 97.778 Vtx (-.03, -.06, -.15) Heal(N= 6 SimE= 10.1) Muon(N= 4)

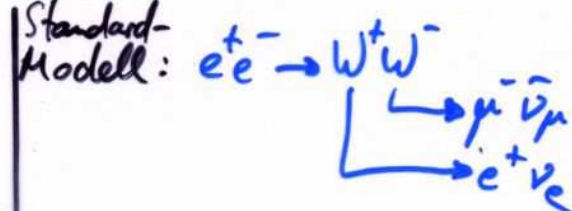


slepton - Kandidat

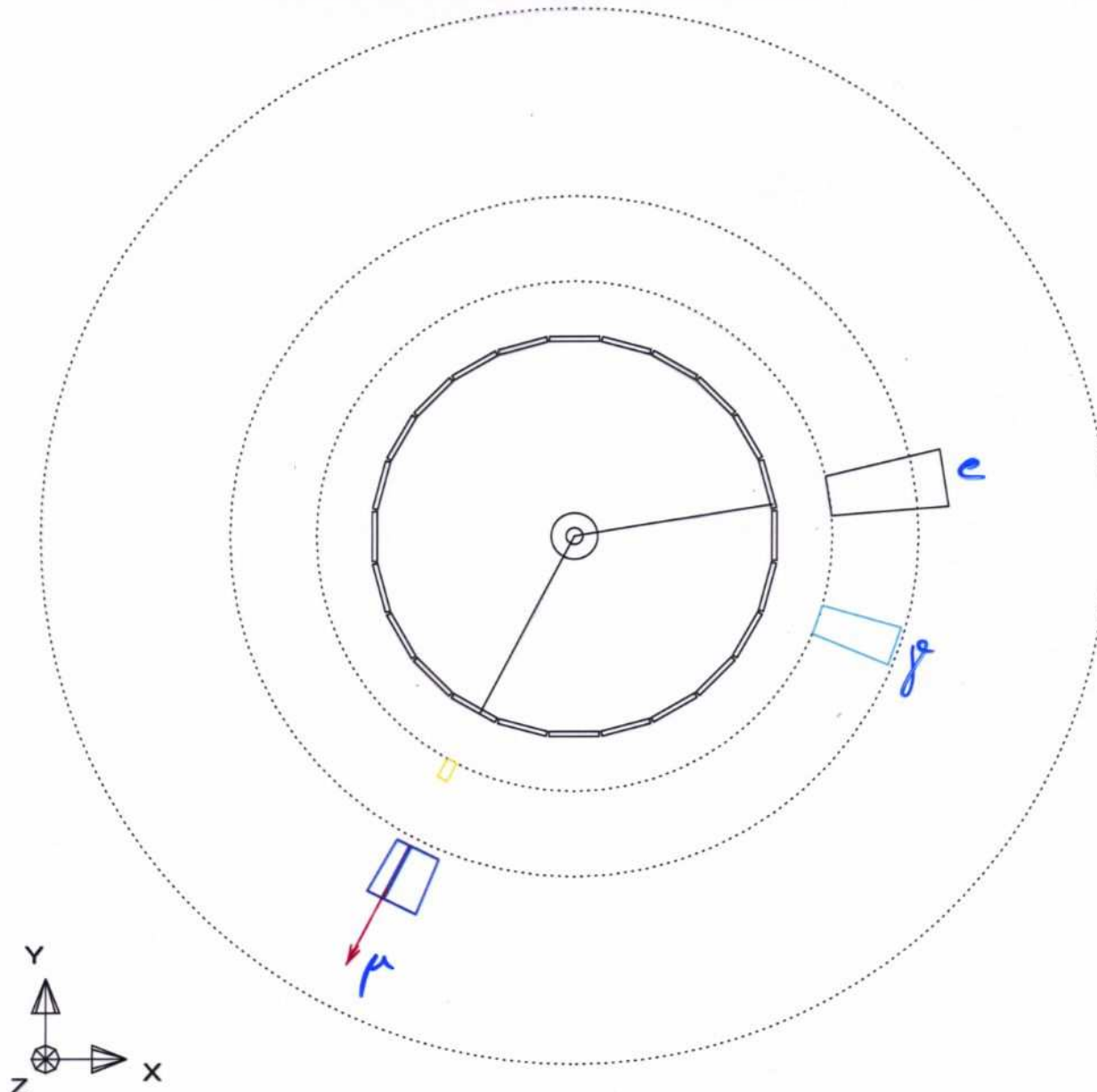
SUSY: $e^+ e^- \rightarrow \tilde{e}^+ \tilde{e}^-$



Standard-Modell:



Run: event 9686: 39885 Ctrk(N= 2 Sump= 86.9) Ecal(N= 9 SumE= 53.0)
 Ebeam 94.329 Vtx (-0.03, 0.06, 0.19) Had1(N= 2 SumE= 3.1) Muon(N= 1)



Centre of screen is (0.0000, 0.0000, 0.0000)

200. cm.

1 2 4 8 50 GeV
 HTTHTH

Resultate der SUSY-Suche

- keine Anzeichen für Produktion supersym. Teilchen
bei LEP bis $\sqrt{s} = 209 \text{ GeV}$ (bei Tevatron in $p\bar{p}$ bis 2TeV)
 - Anzahl der Kandidaten verträglich mit Standard-Modell Hintergrund
 - Grenzen auf Wirkungsquerschnitte und Massen
 - Obere Grenzen auf WQ für $e^+e^- \rightarrow \tilde{\chi}^{\pm}\tilde{\chi}^{\mp}, \tilde{\chi}_i^0\tilde{\chi}_j^0, \dots$
braucht wenige Annahmen: Paarproduktion und Zerfall der supersym. Teilchen
 - Untere Grenzen auf Massen und Grenzen auf Modellparameter, d.h. Interpretation in einem Modell (SUSY-Brechungsszenario) z.B. unter Nutzung der Beziehung zwischen Massen, Modellparametern und Wirkungsquerschnitten
- Prinzip: Scan des Parameterraumes $m_0, m_{1/2}, \tan\beta, A, \mu$
- Wähle einen MSSM-Parametersatz, berechne Wirkungsquerschnitte und vergleiche mit experimentell ausgeschlossenen WQ
- Ausschluss eines Punktes im Parameterraum wie z.B. einer Massenkombination $m_0, m_{1/2}$

Intermezzo

Ausschlussgrenzen und statistische Signifikanz

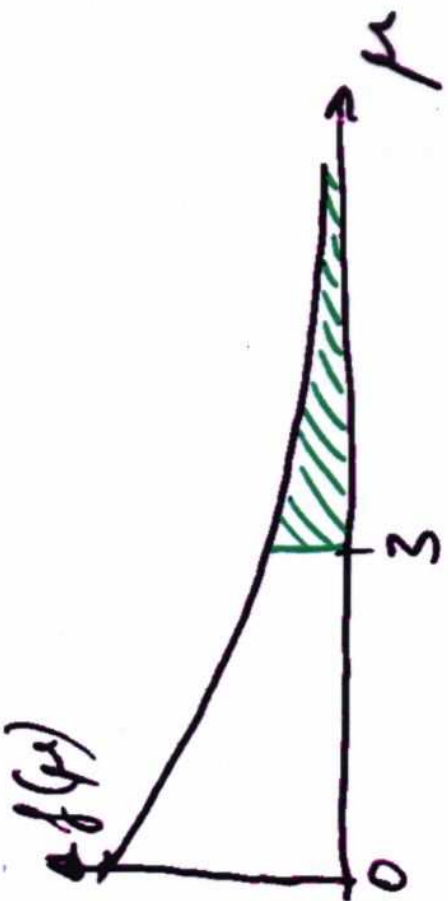
◊ im Fall kleiner Ereigniszahlen: Poisson Statistik

$$f(\mu, n) = \frac{\mu^n \exp(-\mu)}{n!}$$

μ : Erwartungswert

n : beobachtete Ereigniszahl ($n = 0, 1, 2, \dots$)

▷ Beispiel: Kein beobachteter Kandidat ($n = 0$): $f(\mu) = \exp(-\mu)$



Für $n = 0$ ist: $\int_{\mu}^{\infty} f(\mu') d\mu' = f(\mu) \underset{\mu=3}{\approx} 0.05$

$\Rightarrow 5\%$ Wahrscheinlichkeit wirkliche Ereigniszahl $n' > 3$

$\Rightarrow 95\%$ Wahrscheinlichkeit wirkliche Ereigniszahl $n' < 3$ ($\hat{=} 95\% CL$)

| | beobachtete Ereigniszahl n | 95% CL $n > n'$ Untergrenze n' | 95% CL $n < n'$ Obergrenze n' |
|---|------------------------------|-------------------------------------|------------------------------------|
| 0 | | 0.05 | 3.00 |
| 1 | | 0.36 | 4.74 |
| 2 | | 0.82 | 6.30 |
| 3 | | 1.37 | 7.75 |
| 4 | | 1.97 | 9.15 |
| 5 | | 2.61 | 10.51 |
| 6 | | | 11.84 |

\Rightarrow Obergrenze $n < n'$ → Wirkungsquerschnitt $\sigma < n'/\sqrt{\mu}$ (mit integrierter Luminosität S_L)

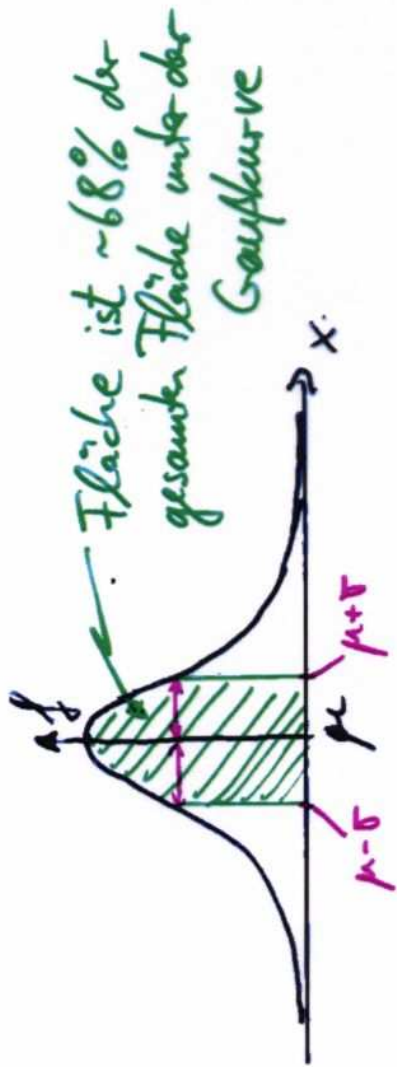
Intervalle

Ausschlussgrenzen und statistische Signifikanz

- Messung $\hat{=}$ Stichprobe

▷ häufige Wiederholung der Messung \rightarrow statistische Verteilung der Stichproben

◊ gaußsche Verteilung (für große Erwartungswerte μ)



$$f(\mu, \sigma) = \frac{1}{\sqrt{2\pi\sigma^2}} \cdot \exp\left(-\frac{(x_i - \mu)^2}{2\sigma^2}\right)$$

▷ statistische Verteilung der Stichproben \rightarrow $\sim 68\%$ innerhalb $\pm 1\sigma$ um Mittelwert μ

\Rightarrow Messwert hat 68%ige statistische Zuverlässigkeit im $\pm 1\sigma$ -Intervall zu liegen $\hat{=}$ 68% CL (Confidence Level)

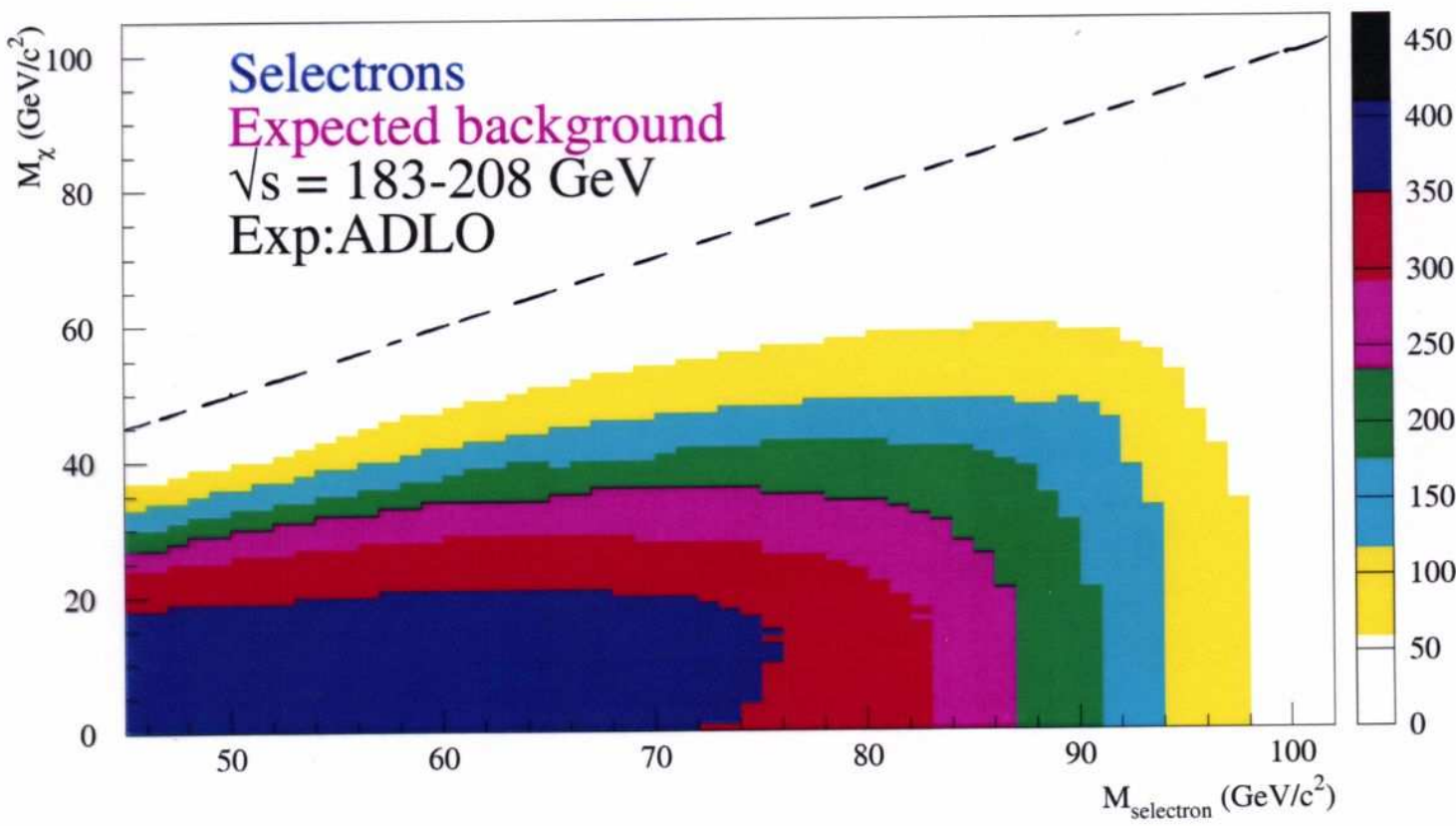
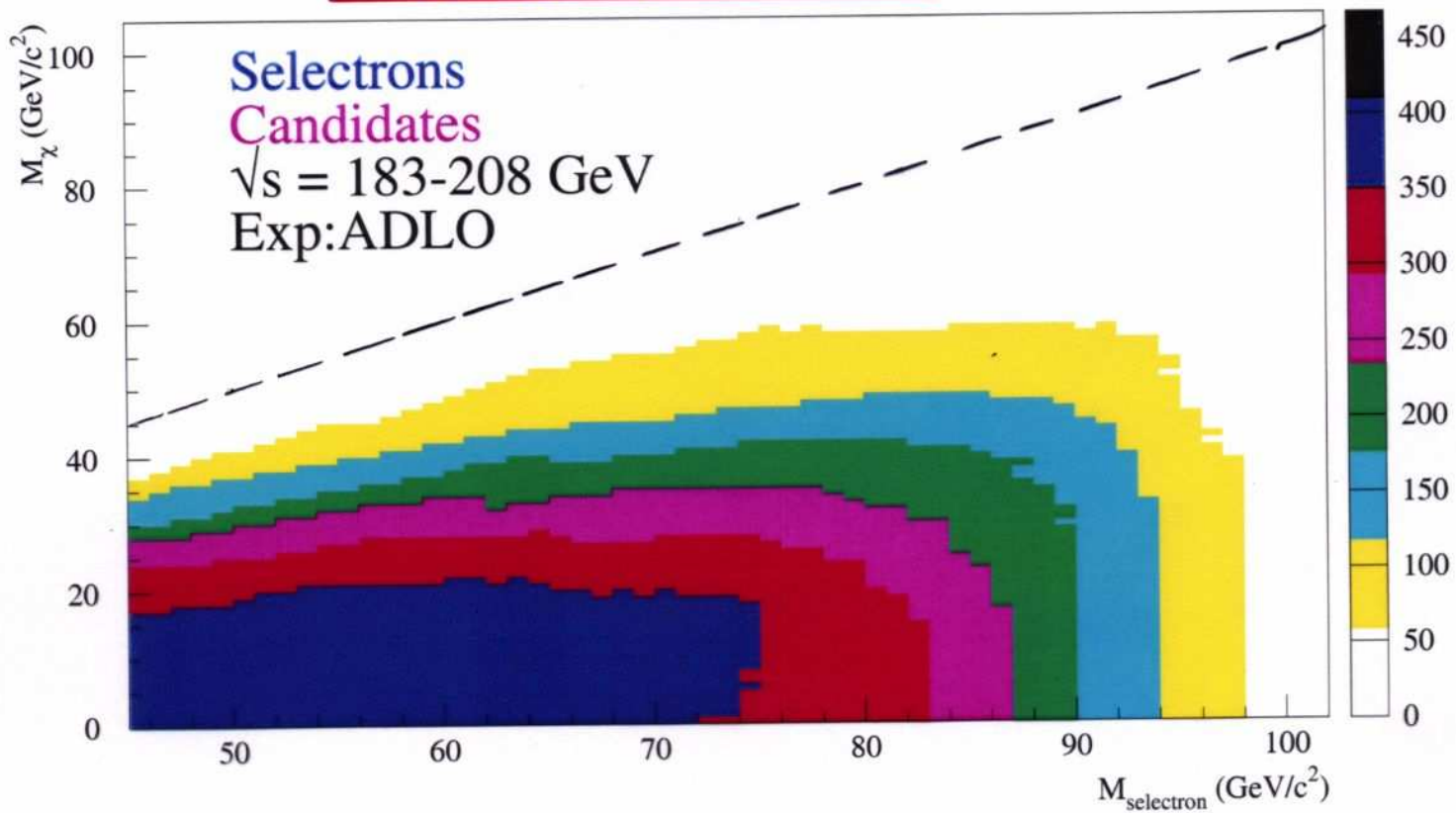
| ▷ | Intervallbreite | Confidence Level | Untergrenze f. Messwert x | Obergrenze |
|---|-----------------|---------------------|-----------------------------|-----------------------|
| | $\pm 1\sigma$ | 68% | $x > \mu - 1\sigma$ | $x < \mu + 1\sigma$ |
| | $\pm 2\sigma$ | 95% | $x > \mu - 2\sigma$ | $x < \mu + 2\sigma$ |
| | $\pm 2.6\sigma$ | 99.9% | $x > \mu - 2.6\sigma$ | $x < \mu + 2.6\sigma$ |
| | $\pm 5\sigma$ | $5.7 \cdot 10^{-5}$ | $x > \mu - 5\sigma$ | $x < \mu + 5\sigma$ |

Obere Grenze auf Wirkungsquerschnitt

$e^+e^- \rightarrow \tilde{e}^+\tilde{e}^-$ bei $\sqrt{s} = 183 - 208 \text{ GeV}$

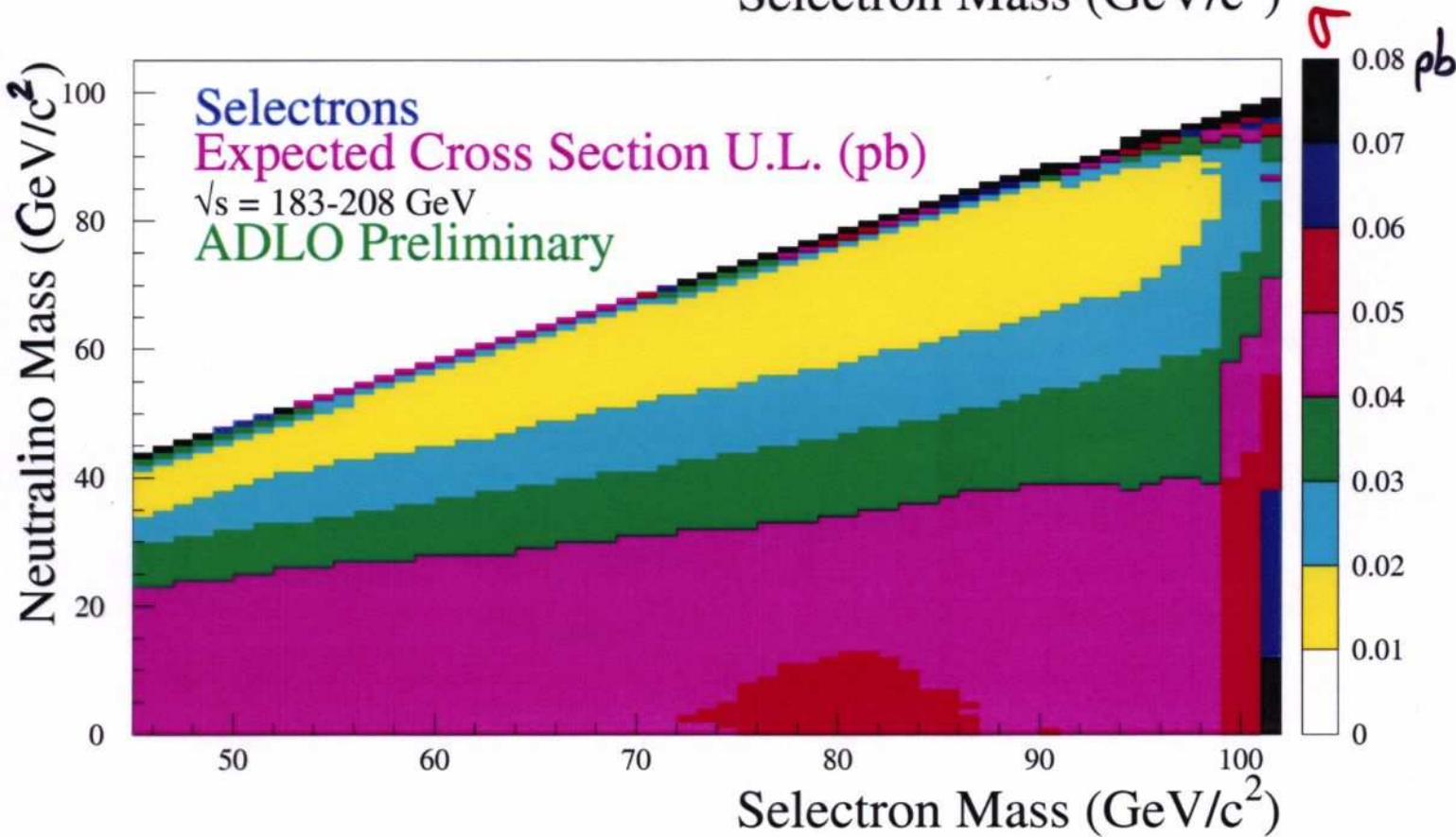
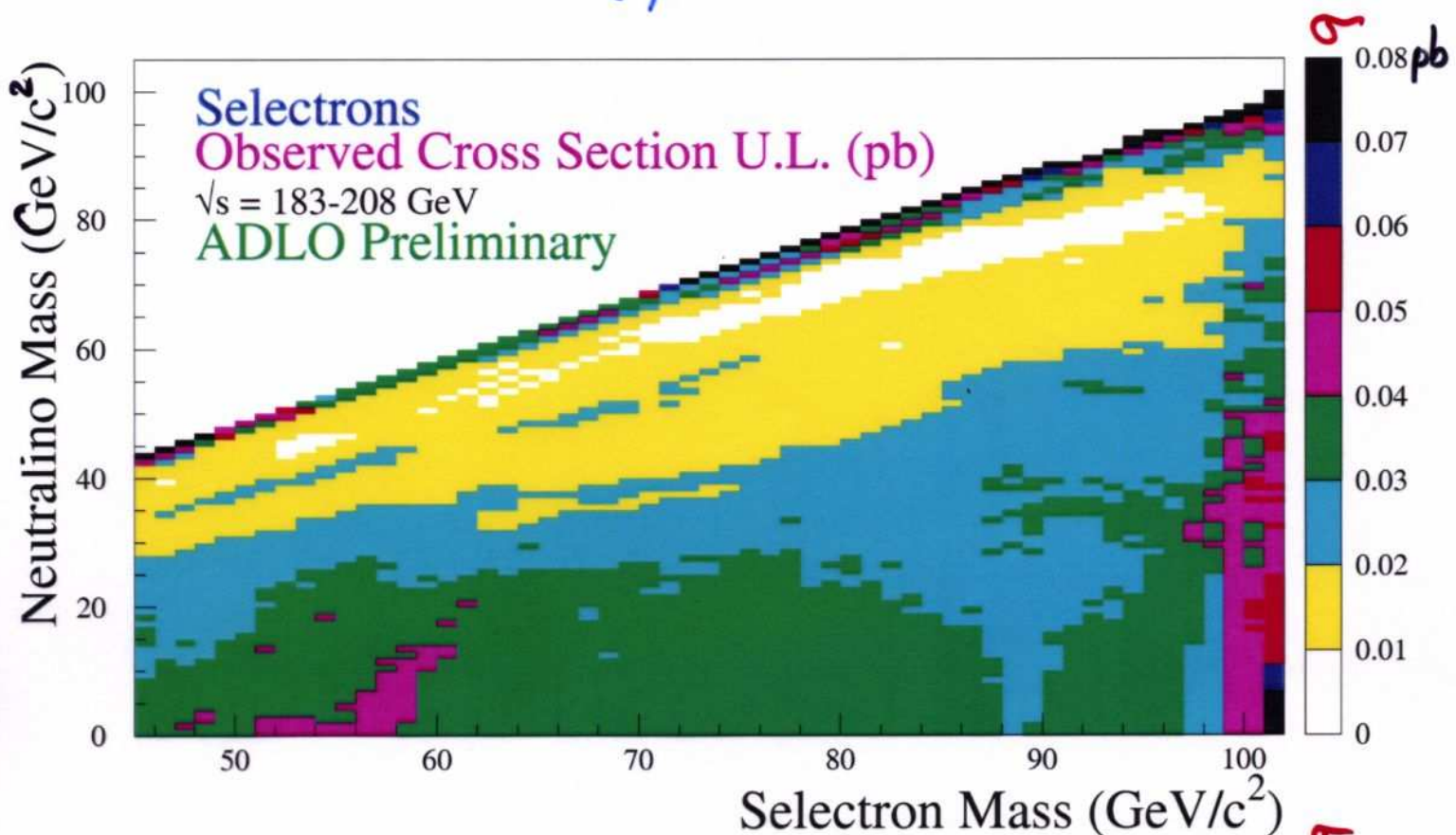
Darstellung in $m_{\tilde{e}} - M_{\text{LSP}}$ -Ebene:

Anzahl der Kandidaten



Obere Grenze auf Wirkungsquerschnitt

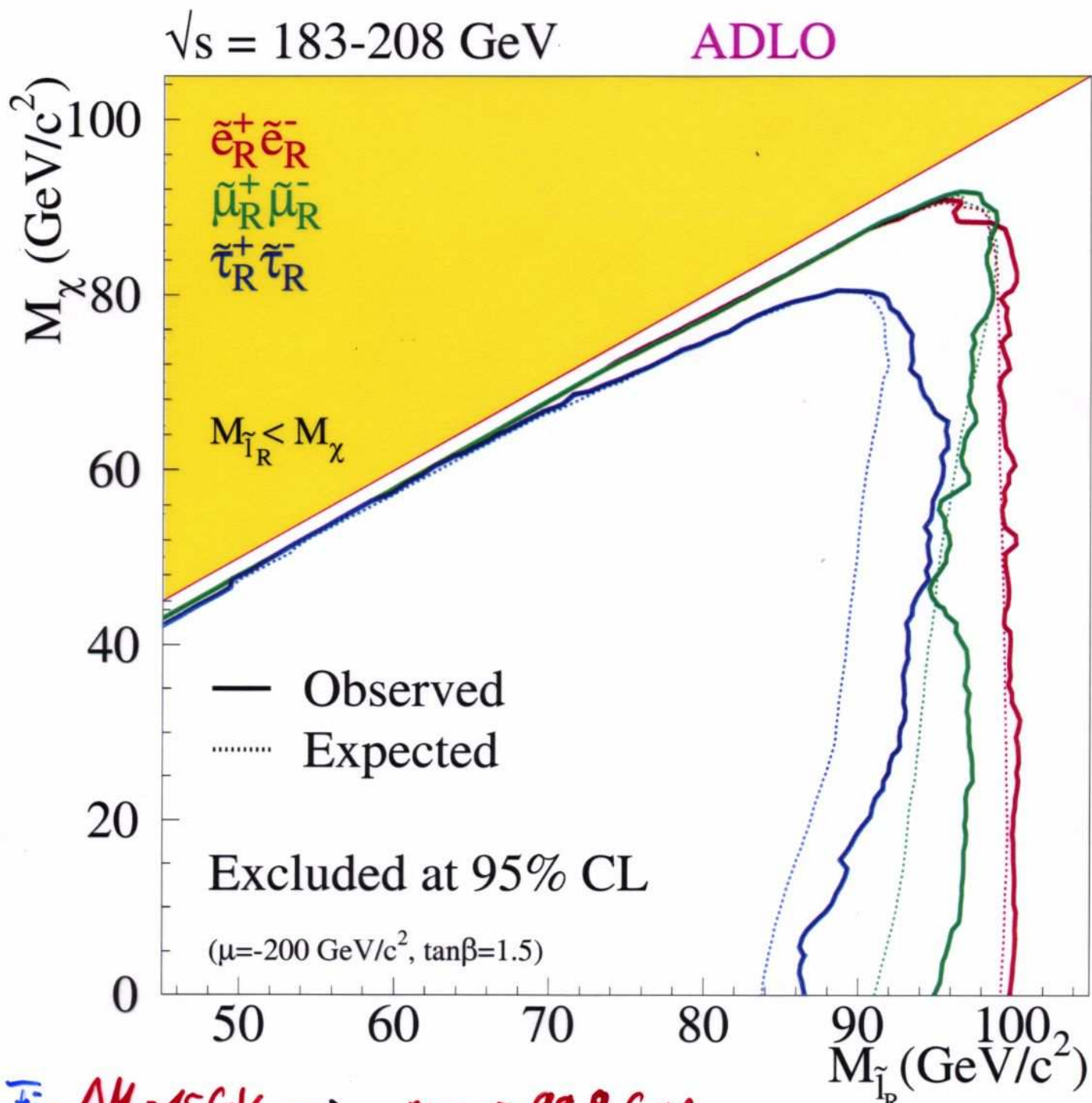
- Anzahl der Kandidaten n_C , Anzahl des Untergrunds n_B
 - Obergrenze auf Signal n_S
 - Wirkungsquerschnitt $\sigma < n_S / \sqrt{s}$



Untere Grenze auf Massen der skalaren Leptonen

in $M_{\tilde{\chi}_1^0} - m_{\tilde{\ell}}^0$ Ebene für feste Parameter $\mu = -200 \text{ GeV}$
und $\tan\beta = 1.5$

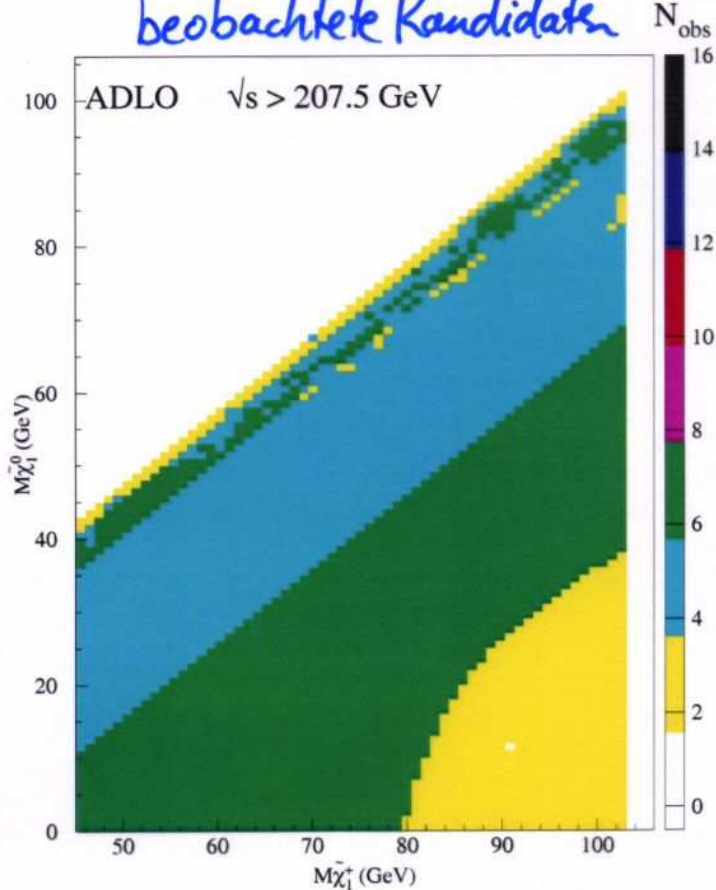
(An diesem Punkt sind die Massengrenzen auf Neutralinos $\tilde{\chi}_1^0$
aus der Suche nach Neutralinos und Charginos am schwächsten)



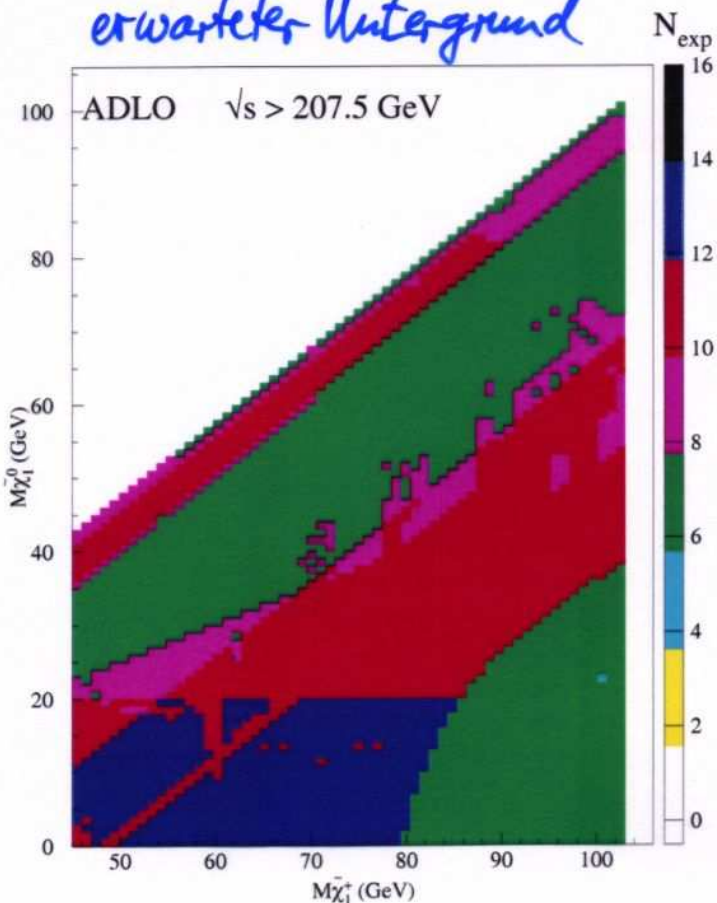
Für $\Delta M = 15 \text{ GeV} \rightarrow m_{\tilde{e}_R} > 99.9 \text{ GeV}$
 $m_{\tilde{\mu}_R} > 94.9 \text{ GeV}$ $m_{\tilde{\tau}_R} > 86.6 \text{ GeV}$ @ 95% CL

Chargino - Suche und Grenzen

beobachtete Kandidaten



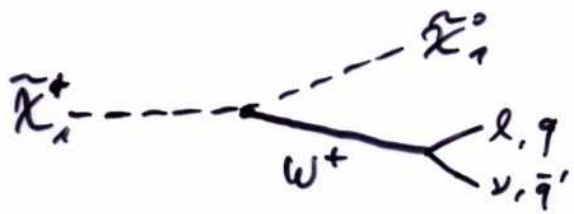
erwarteter Untergrund



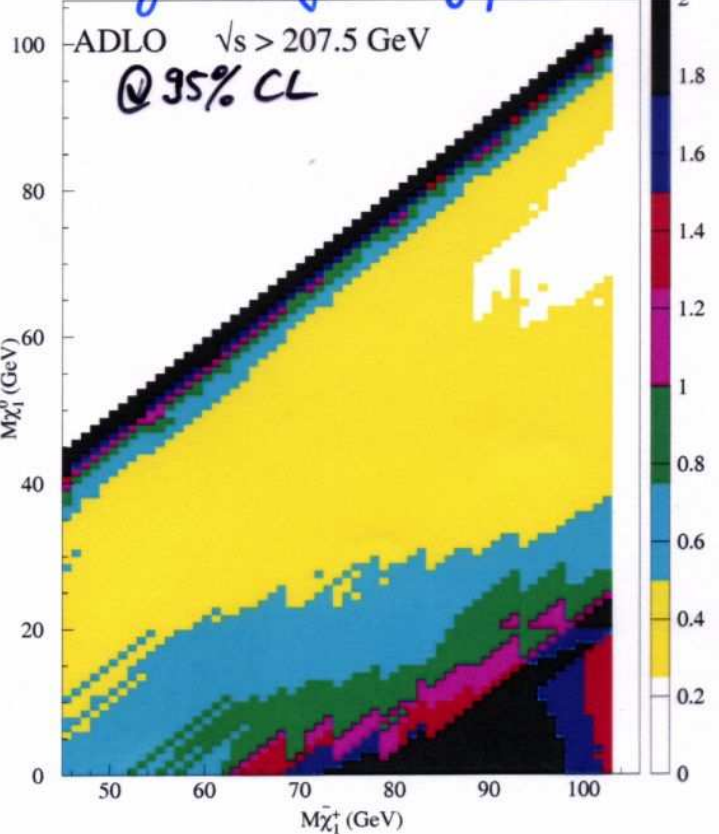
alle Diagramme zeigen

$M_{\tilde{\chi}_1^0} - M_{\tilde{\chi}_1^+}$ - Ebene

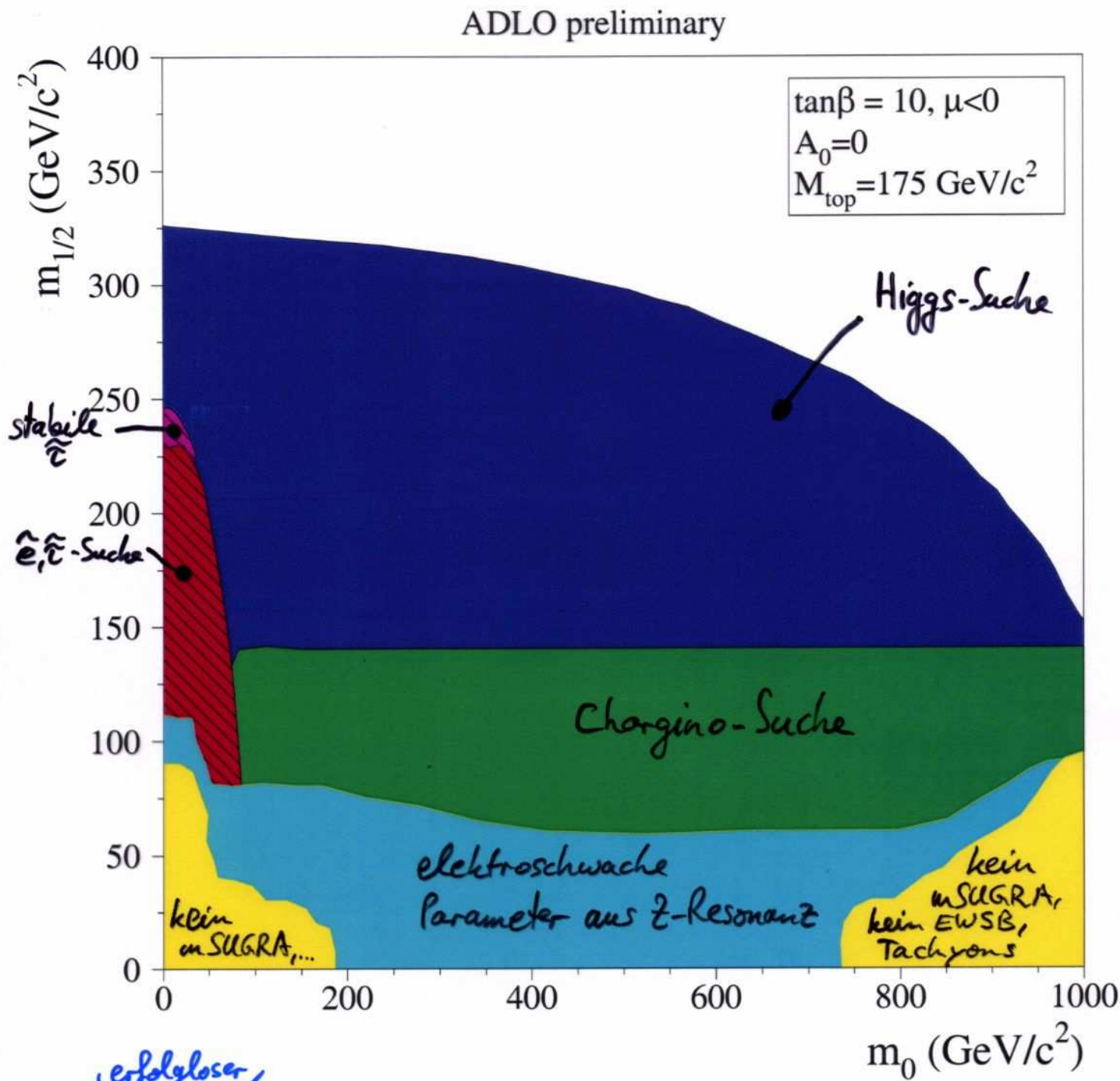
für die Zerfälle des
Charginos $\tilde{\chi}_1^+$ in ein
Neutralino $\tilde{\chi}_1^0$:



Obergrenze auf Wirkungsq. $\sigma_{\text{upper limit}} (\text{pb})$



Massengrenze auf das LSP



Aus Suche nach supersym. Teilchen kann der Parameterraum von ($m_0, m_{1/2}$) eingeschränkt werden.

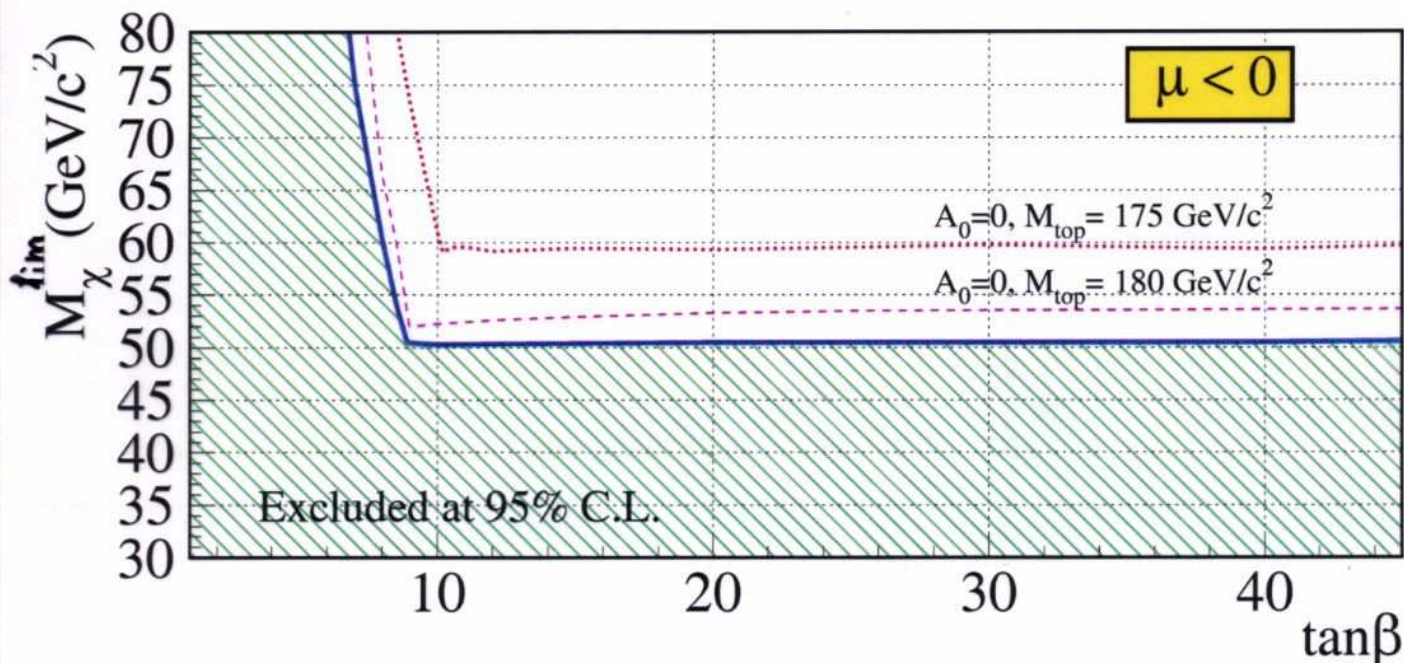
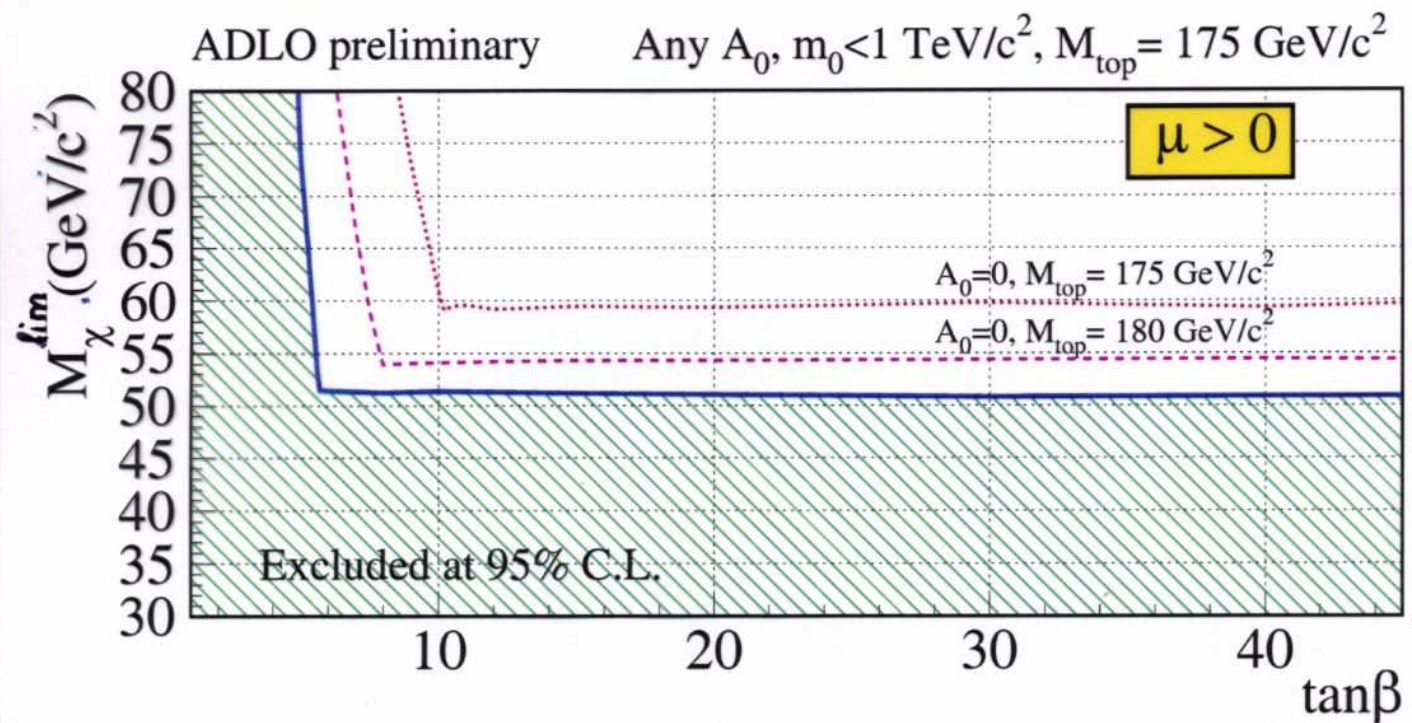
Jeder ausgeschlossene ($m_0, m_{1/2}$) - Punkt schließt gewisse Werte für $M_{\tilde{\chi}_1^0}$ aus!

Massengrenze auf das LSP

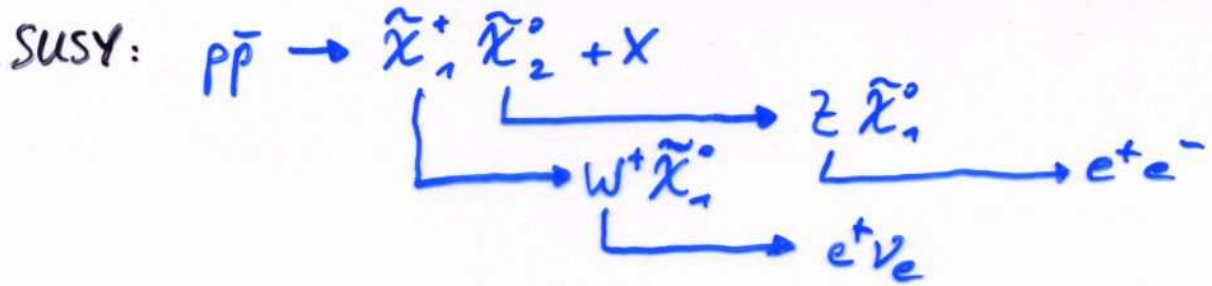
jeder ausgeschlossene $(m_0, m_{1/2})$ -Punkt schließt gewisse Werte für LSP-Masse $M_{\tilde{\chi}_1^0}$ aus!

$$\Rightarrow M_{\text{LSP}} \gtrsim 50.3 \text{ GeV} \quad (@95\% \text{ CL})$$

für alle $\mu \geq 0$, beliebiges A_0 , $m_0 < 1 \text{ TeV}$, $M_{\text{top}} = 175 \text{ GeV}$



3-Lepton - SUSY - Kandidat am Tevatron



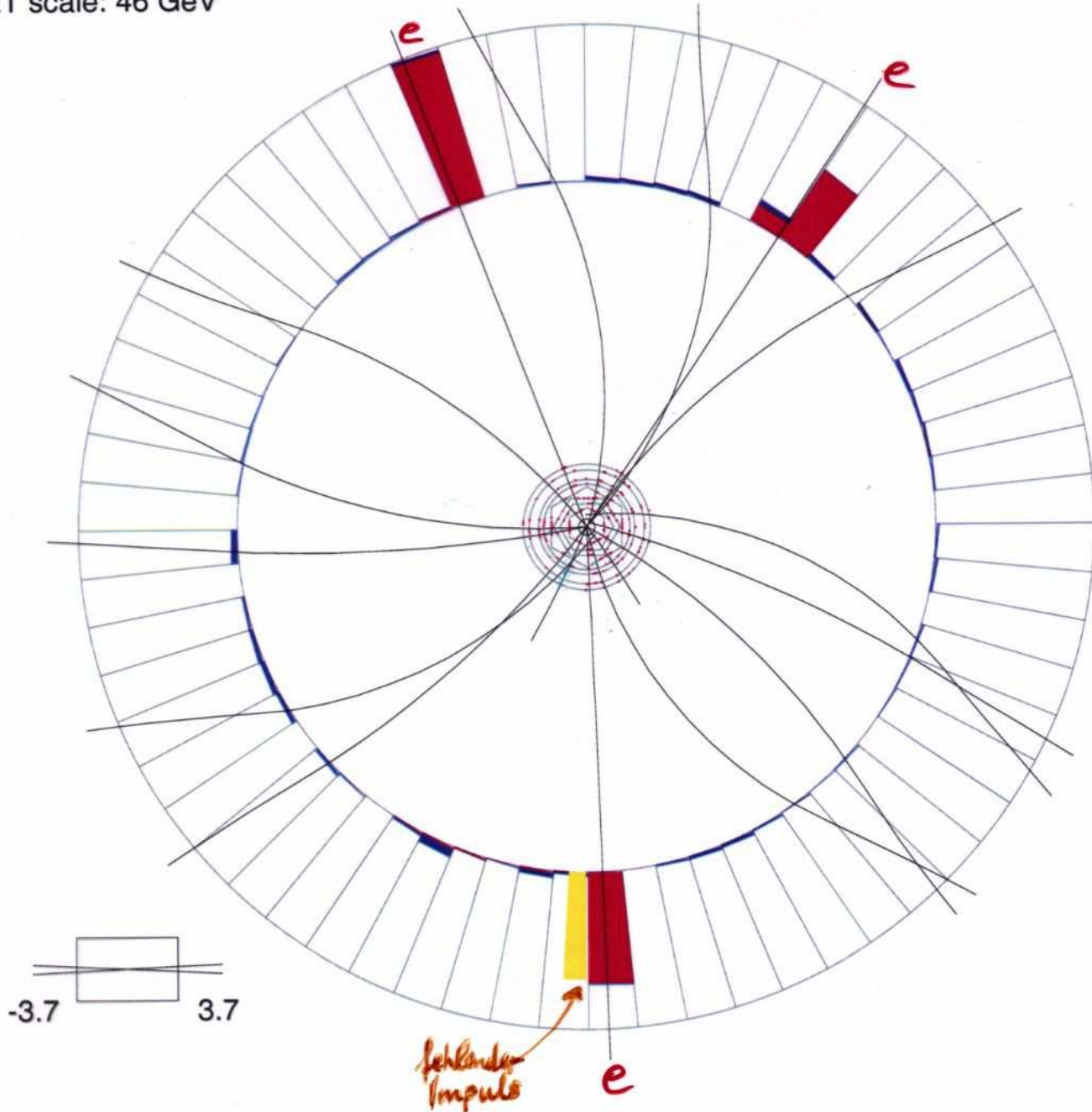
Standard-
Modell:



Run 167885 Event 21398063 Fri Mar 7 13:08:32 2003

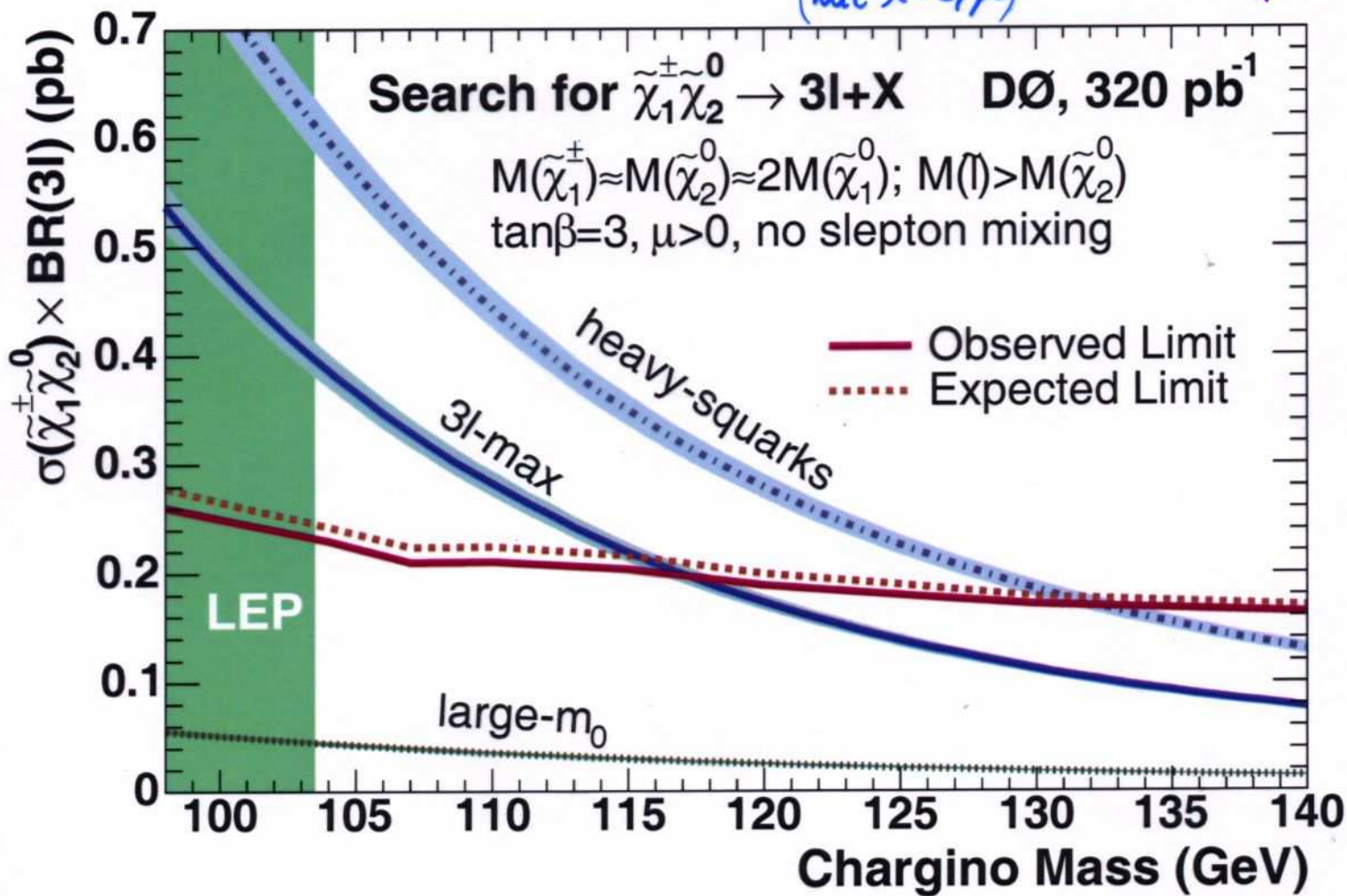
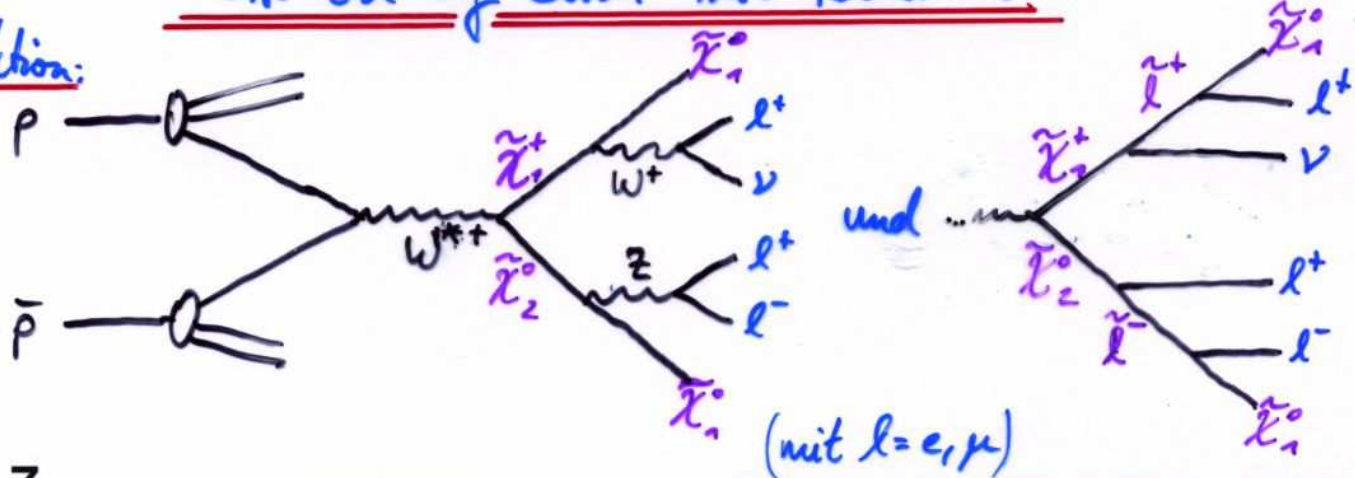
im DØ-Detektor

ET scale: 46 GeV



Grenzen auf SUSY mit Tevatron

Produktion:



Szenarien:

- **large- m_0 :** große sleptonmasse \rightarrow kleines Verzweigungsverhältnis
 $\tilde{\chi}^0, \tilde{\chi}^+ \rightarrow \tilde{\chi}_1^0 + Z, W^+$
- **3l-max:** 3-Lepton-Verzweigungsverhältnis max. für $m_{\tilde{e}} \gtrsim m_{\tilde{\chi}_2^0}$
- **heavy-squarks:** neg. Interferenz zum t-Kanal sQuark-Austausch unterdrückt, wenn sQuarks sehr schwer

Zusammenfassung SUSY:

- Symmetrie zwischen Fermionen und Bosonen
 - verknüpft interne Symmetrie mit Lorentzinvarianz
 - ermöglicht Vereinheitlichung der Kopplungen ($\Omega M_{\text{GUT}}, M_{\text{Planck}}$)
 - erwartet leichtes Higgs-Boson ($m_h < 130 \text{ GeV}$)
 - jedes Standard-Modell-Teilchen erhält supersym. Partner:
St fermionen und Bosinos
 - Supersymmetrie \leftrightarrow erhaltene R-Parität
 \Rightarrow leichtestes SUSY-Teilchen (LSP) stabil (\rightarrow ^{Dunkle Materie?!})
 - besitzt (zu viele) unbekannte Parameter (106 + 18)
 - SUSY ist gebrochen; Mechanismus unklar
 \rightarrow hidden sector + Messenger
 - Vereinheitlichung von Massen & Kopplungen zur Reduktion der Parameter $\rightarrow m_0, m_{1/2}, A, \mu_0, \tan\beta$
 - Suche am LEP, Tevatron bislang erfolglos
- \Rightarrow Masse des LSP $M_{\text{LSP}} \gtrsim 50.3 \text{ GeV}$ (95% CL)